

---

# ROČNÍ ZPRÁVA Z MĚŘENÍ V LOKALITĚ

## JIHLAVA – AUTOMOTIVE LIGHTING

---

Rok 2019



**ENVITECH Bohemia, s.r.o.**

28. únor 2020



## OBSAH

1	Měřené škodliviny, Imisní limity a emise.....	5
1.1	Charakteristika měřených škodlivin .....	5
1.1.1	Suspendované částice PM <sub>10</sub> a PM <sub>2,5</sub> .....	5
1.1.2	Oxid dusičitý .....	6
1.2	Imisní limity pro sledované látky.....	6
1.3	Původ znečištění – emise .....	7
1.3.1	Emise tuhých látek.....	7
1.3.2	Emise oxidů dusíku (NOx).....	9
2	Průměrné roční koncentrace a jejich vývoj .....	10
3	Vývoj průměrných měsíčních koncentrací.....	16
4	Průměrné denní koncentrace v roce 2019 .....	25
4.1	Počet překročení hodnoty imisního limitu pro denní koncentraci PM <sub>10</sub> .....	26
4.2	Průměrný denní chod hodinových koncentrací jednotlivých škodlivin.....	31
5	Větrné a koncentrační růžice.....	34
5.1	Suspendované částice PM <sub>10</sub> .....	35
5.2	Suspendované částice PM <sub>2,5</sub> .....	38
5.3	Oxid dusičitý NO <sub>2</sub> .....	41
6	Závěry .....	44
7	Citovaná literatura .....	45

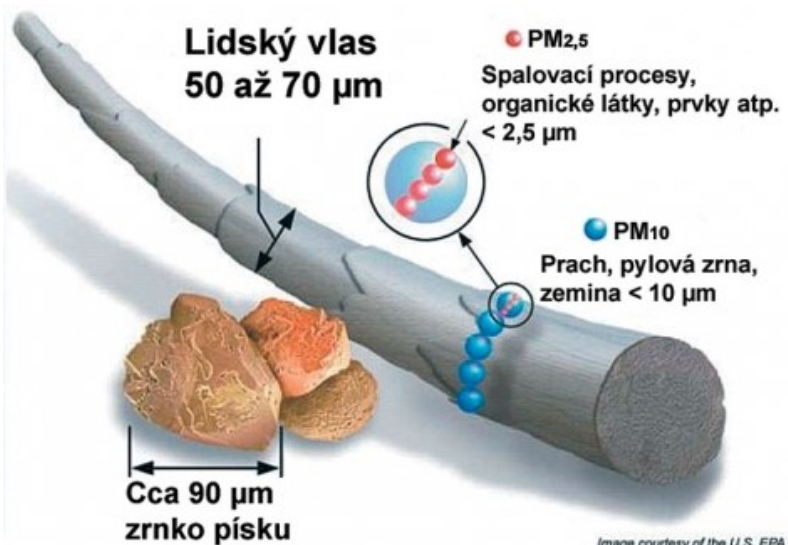


# 1 MĚŘENÉ ŠKODLIVINY, IMISNÍ LIMITY A EMISE

## 1.1 CHARAKTERISTIKA MĚŘENÝCH ŠKODLIVIN

### 1.1.1 SUSPENDOVANÉ ČÁSTICE PM<sub>10</sub> A PM<sub>2,5</sub>

Suspendované částice PM<sub>10</sub> jsou částice s maximální velikostí aerodynamického průměru 10 µm, částice PM<sub>2,5</sub> pak mají aerodynamický průměr maximálně 2,5 µm. Tyto částice pronikají do dolních partií dýchacích cest (thorakální částice). O jaké částice se velikostně jedná, ukazuje následující Obr. 1.



Obr. 1 – Srovnání velikostí částic PM<sub>10</sub> a PM<sub>2,5</sub> s zrnky písku či lidským vlasem, zdroj: US EPA

Částice o větší velikosti se zachycují v horních cestách dýchacích, do plic nepronikají a jejich koncentrace se proto neměří. Pozornost se naopak zaměřuje k čím dál menším částicím, protože platí, že čím menší průměr částice, tím dále se v lidském těle dostane a tím je pro člověka nebezpečnější. Negativní zdravotní účinky PM<sub>10</sub> a PM<sub>2,5</sub> se projevují již při velmi nízkých koncentracích bez zřejmé spodní hranice bezpečné koncentrace. Zdravotní rizika částic ovlivňuje jejich koncentrace, velikost, tvar a chemické složení. Mohou se podílet na snížení imunity, mohou způsobovat zánětlivá onemocnění plicní tkáně a oxidativní stres organismu. Při chronickém působení mohou způsobovat respirační onemocnění a snižovat funkci plic.

Suspendované částice jsou emitovány jak přírodními (např. sopky či prašné bouře), tak i antropogenními (např. elektrárny a průmyslové technologické procesy, doprava, spalování uhlí v domácnostech, spalování odpadu) zdroji. Většina těchto antropogenních emisních zdrojů je soustředěna v urbanizovaných oblastech, tj. v oblastech, ve kterých žije velká část populace.

### 1.1.2 OXID DUSIČITÝ

Expozice zvýšeným koncentracím oxidu dusičitého ovlivňuje plicní funkce a způsobuje snížení imunitity. Více než 90 % z celkových oxidů dusíku ve venkovním ovzduší je emitováno ve formě NO. NO<sub>2</sub> vzniká relativně rychle reakcí NO s přízemním ozonem nebo s radikály typu HO<sub>2</sub>, popř. RO<sub>2</sub>. Řadou chemických reakcí se část NO<sub>x</sub> přemění na HNO<sub>3</sub>/NO<sub>3</sub><sup>-</sup>, které jsou z atmosféry odstraňovány suchou a mokrou atmosférickou depozicí. Pozornost je věnována NO<sub>2</sub> z důvodu jeho negativního vlivu na lidské zdraví. Hraje také klíčovou roli při tvorbě fotochemických oxidantů.

V Evropě vznikají emise oxidů dusíku (NO<sub>x</sub>) převážně z antropogenních spalovacích procesů, kde NO vzniká reakcí mezi dusíkem a kyslíkem ve spalovaném vzduchu a částečně i oxidací dusíku z paliva. Hlavní antropogenní zdroje představuje především silniční doprava (významný podíl má ovšem i doprava letecká a vodní) a dále spalovací procesy ve stacionárních zdrojích [1].

K překročení ročního imisního limitu NO<sub>2</sub> dochází pouze na omezeném počtu stanic, a to na dopravně exponovaných lokalitách aglomerací a velkých měst. Lze předpokládat, že k překročení imisních limitů může docházet i na dalších dopravně exponovaných místech, kde není prováděno měření.

## 1.2 IMISNÍ LIMITY PRO SLEDOVANÉ LÁTKY

Základní právní normou upravující hodnocení kvality ovzduší v České republice je zákon o ochraně ovzduší [2]. V následující Tab. 1 jsou zobrazeny imisní limity pro ochranu zdraví lidí, imisní limity pro celkový obsah znečišťující látky v čisticích PM<sub>10</sub> pro ochranu zdraví lidí a imisní limity pro troposférický ozón. Kromě samotných imisních limitů tabulky uvádí také přípustnou četnost překročení za kalendářní rok (je-li stanovena), horní mez pro posuzování (UAT) a dolní mez pro posuzování (LAT). Pokud jsou v území překračovány hodnoty horní meze pro posuzování, je pro hodnocení kvality ovzduší nutné koncentrace měřit stacionárním měřením. V případě, že jsou nižší než dolní mez pro posuzování, postačuje pro posuzování úrovně znečištění výpočet pomocí modelu. V případě koncentrací mezi dolní a horní mezí pro posuzování se používá kombinace měření a výpočtu. Horní a dolní meze pro posuzování jsou uvedeny v imisní vyhlášce [3]. Poslední sloupec (pLV) v Tab. 1 zobrazuje maximální povolený počet překročení limitní hodnoty (LV) za kalendářní rok.

Tab. 1 – Imisní limity vyhlášené pro ochranu zdraví lidí a maximální počet jejich překročení

ZNEČIŠŤUJÍCÍ LÁTKA	DOBA PRŮMĚROVÁNÍ	IMISNÍ LIMIT LV	UAT	LAT	PLV
PRAŠNÝ AEROSOL PM <sub>10</sub>	24 hodin	50 µg*m <sup>-3</sup>	35 µg*m <sup>-3</sup>	25 µg*m <sup>-3</sup>	35
PRAŠNÝ AEROSOL PM <sub>10</sub>	1 kalendářní rok	40 µg*m <sup>-3</sup>	28 µg*m <sup>-3</sup>	20 µg*m <sup>-3</sup>	
PRAŠNÝ AEROSOL PM <sub>2,5</sub>	1 kalendářní rok	25 µg*m <sup>-3</sup>	17 µg*m <sup>-3</sup>	12 µg*m <sup>-3</sup>	
OXID DUSIČITÝ NO <sub>2</sub>	1 hodina	200 µg*m <sup>-3</sup>	140 µg*m <sup>-3</sup>	100 µg*m <sup>-3</sup>	18
OXID DUSIČITÝ NO <sub>2</sub>	1 kalendářní rok	40 µg*m <sup>-3</sup>	32 µg*m <sup>-3</sup>	26 µg*m <sup>-3</sup>	

Imisní limit pro PM<sub>2,5</sub> bude od roku 2020 zpřísněn na 20 µg·m<sup>-3</sup>. [4]

## 1.3 PŮVOD ZNEČIŠTĚNÍ – EMISE

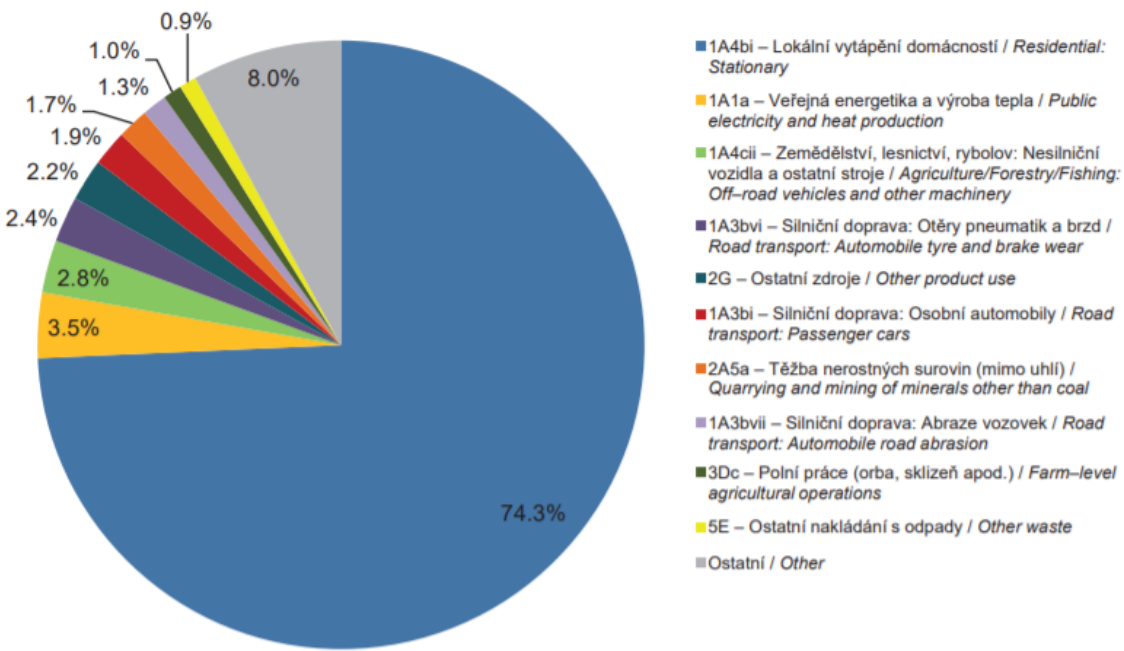
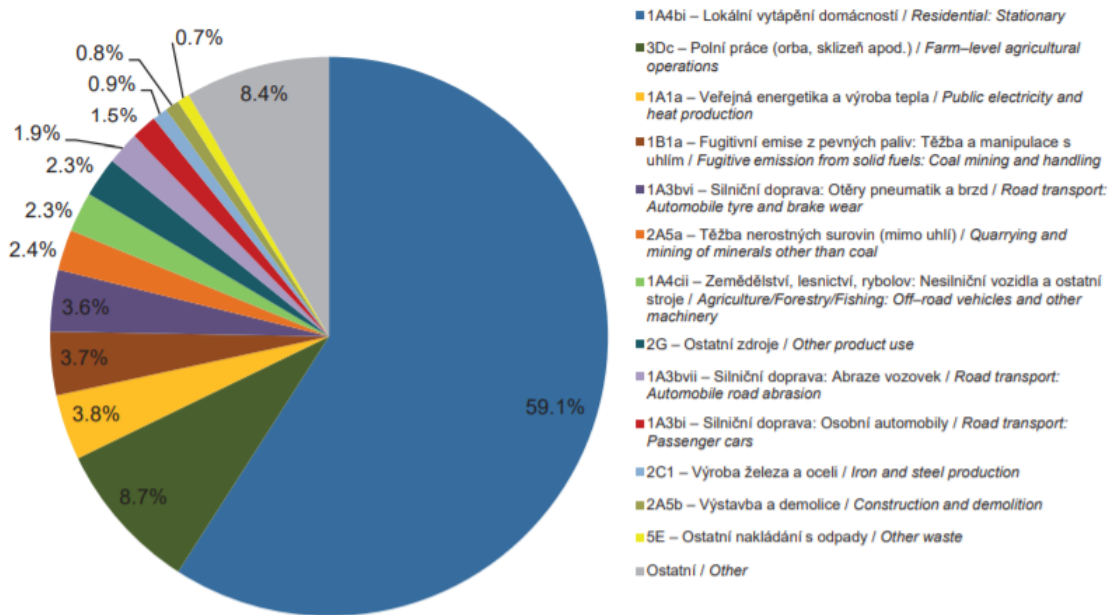
Tato kapitola je věnována emisím tuhých znečišťujících látek a oxidů dusíku do ovzduší. Zdrojem dat je databáze REZZO (registrování emisí a zdrojů znečišťování ovzduší) spravované ČHMÚ. Kromě zdrojů uvedených v databázi (antropogenních) však v této kapitole budou diskutovány také neantropogenní zdroje, které se také podílí na znečišťování ovzduší.

### 1.3.1 EMISE TUHÝCH LÁTEK

Částice obsažené ve vzduchu lze rozdělit na primární a sekundární. Primární částice jsou emitovány přímo do atmosféry, ať již z přírodních (např. sopečná činnost, pyl nebo mořský aerosol) nebo z antropogenních zdrojů (např. spalování paliv ve stacionárních i mobilních zdrojích, otěry pneumatik, brzd a vozovek). Sekundární částice jsou převážně antropogenního původu a vznikají v atmosféře ze svých plynných prekurzorů  $\text{SO}_2$ ,  $\text{NO}_x$ ,  $\text{NH}_3$  a VOC procesem nazývaným konverze plyn-částice. Z důvodu různorodosti emisních zdrojů mají suspendované částice různé chemické složení a různou velikost.

Emisní inventury částic  $\text{PM}_{10}$  a  $\text{PM}_{2,5}$  prováděné podle současných metodik zahrnují pouze emise produkované primárními zdroji. Ve srovnání s emisemi jiných znečišťujících látek jsou emise  $\text{PM}_x$  vnášeny do ovzduší z velkého počtu významnějších skupin zdrojů. Kromě zdrojů, ze kterých jsou tyto látky vypouštěny řízeně komínem nebo výduchy (průmyslové zdroje, lokální toopeniště, doprava), pochází významné množství emisí PM ze zdrojů fugitivních (kamenolomy, skládky prašných materiálů, operace s prašnými materiály apod.). Zahrnutý jsou rovněž emise z otěrů pneumatik, brzdového obložení a abraze vozovek vypočítávané z dopravních výkonů. Kvalitu ovzduší ovlivňuje rovněž resuspenze částic (znovuzvření), která do standardně prováděných emisních inventur není zahrnuta.

Mezi hlavní zdroje emisí částic v roce 2017 patřil v rámci celé ČR sektor *1A4bi – Lokální vytápění domácností*, který se podílel na znečišťování ovzduší v celorepublikovém měřítku látkami  $\text{PM}_{10}$  59,1 % a  $\text{PM}_{2,5}$  74,3 %. Mezi další významné zdroje emisí  $\text{PM}_{10}$  patřil sektor *3Dc – Polní práce*, kde tyto emise vznikají při obdělávání půdy, sklizni a čištění zemědělských plodin. Tento sektor představoval 8,7 % emisí  $\text{PM}_{10}$ . *Doprava* se na emisích  $\text{PM}_{10}$  podílela 10,7 % a na emisích  $\text{PM}_{2,5}$  10,3 % (Obr. 2) [5].



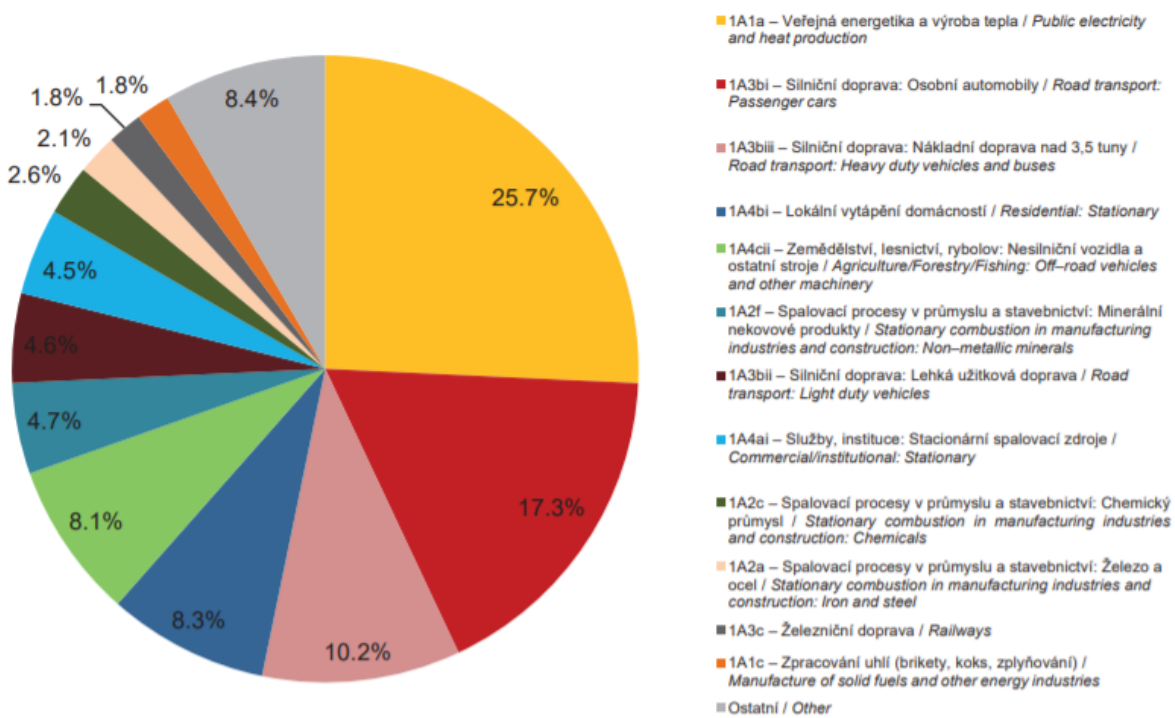
Obr. 2 – Podíl sektorů NFR na celkových emisích PM<sub>10</sub> (nahoře) a PM<sub>2,5</sub> (dole) v ČR, rok 2017 [5]

### 1.3.2 EMISE OXIDŮ DUSÍKU (NO<sub>x</sub>)

Více než 90 % z celkových oxidů dusíku ve venkovním ovzduší je emitováno ve formě NO. NO<sub>2</sub> vzniká relativně rychle reakcí NO s přízemním ozonem nebo s radikály typu HO<sub>2</sub>, popř. RO<sub>2</sub> [6]. Řadou chemických reakcí se část NO<sub>x</sub> přemění na HNO<sub>3</sub>/NO<sub>3</sub><sup>-</sup>, které jsou z atmosféry odstraňovány suchou a mokrou atmosférickou depozicí. Pozornost je věnována NO<sub>2</sub> z důvodu jeho negativního vlivu na lidské zdraví. Hraje také klíčovou roli při tvorbě fotochemických oxidantů.

V Evropě vznikají emise NO<sub>x</sub> převážně z antropogenních spalovacích procesů, kde NO vzniká reakcí mezi dusíkem a kyslíkem ve spalovaném vzduchu a částečně i oxidací dusíku z paliva. Hlavní antropogenní zdroje představuje především silniční doprava (významný podíl má ovšem i doprava letecká a vodní) a dále spalovací procesy ve stacionárních zdrojích. Méně než 10 % celkových emisí NO<sub>x</sub> vzniká ze spalování přímo ve formě NO<sub>2</sub>. Přírodní emise NO<sub>x</sub> vznikají převážně z půdy, vulkanickou činností a při vzniku blesků. Jsou poměrně významné z globálního pohledu, z pohledu Evropy však představují méně než 10 % celkových emisí [7].

Největší množství emisí NO<sub>x</sub> pochází z dopravy. Sektory 1A3bi – Silniční doprava: Osobní automobily, 1A3biii – Silniční doprava: Nákladní doprava nad 3,5 t, 1A3bii – Lehká užitková vozidla a 1A4cii – Zemědělství, lesnictví, rybolov: Nesilniční vozidla a ostatní stroje se na celorepublikových emisích NO<sub>x</sub> v roce 2017 podílely 40,1 %. Ze sektoru 1A1a – Veřejná energetika a výroba tepla bylo do ovzduší vneseno 25,7 % emisí NO<sub>x</sub> (Obr. 3) [5].



Obr. 3 – Podíl sektorů NFR na celkových emisích NO<sub>x</sub> v ČR, rok 2017 [5]

## 2 PRŮMĚRNÉ ROČNÍ KONCENTRACE A JEJICH VÝVOJ

Statistické ukazatele měřených škodlivin a meteorologických podmínek ukazuje následující Tab. 2. Z průměrných hodnot je patrné, že v roce 2019 nedošlo k překročení žádného z imisních limitů pro průměrnou roční koncentraci jednotlivých škodlivin. Průměrné hodnoty jednotlivých škodlivin jsou graficky znázorněny na Obr. 4.

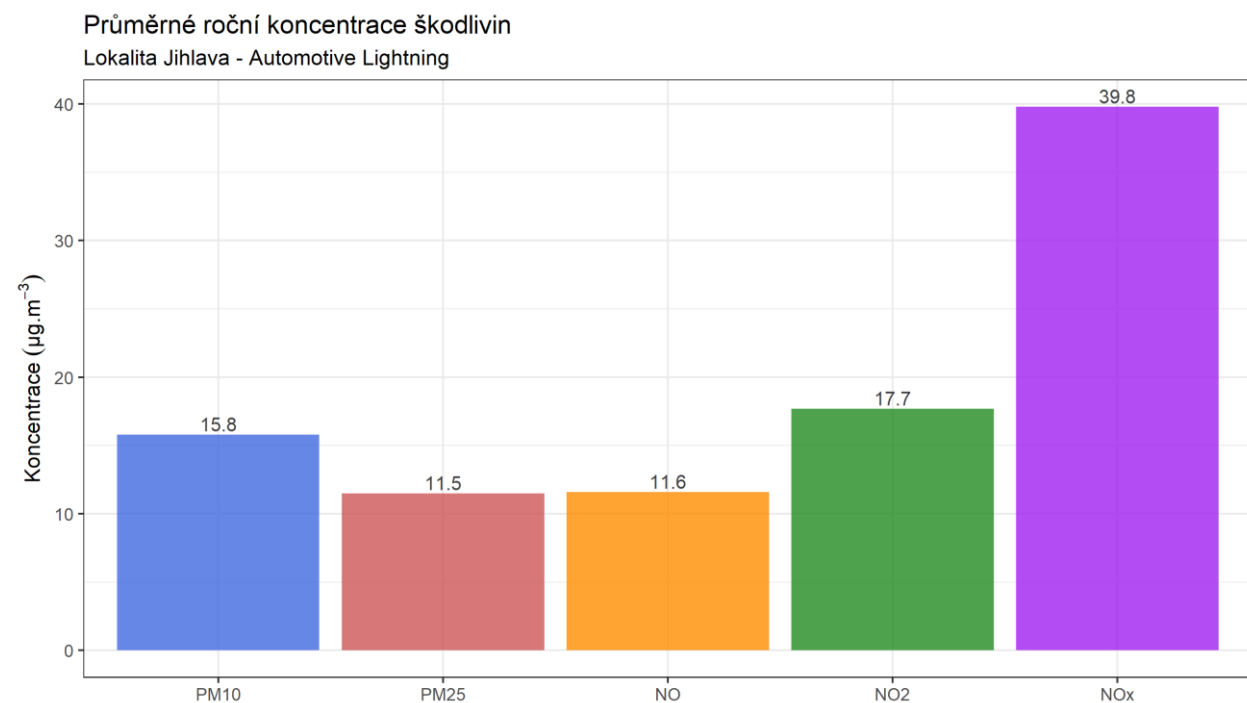
Imisní limit pro průměrnou roční koncentraci **PM<sub>10</sub>** má hodnotu  $40 \mu\text{g}\cdot\text{m}^{-3}$ , naměřená hodnota se tak pohybuje na úrovni 40 % hodnoty imisního limitu.

Imisní limit pro průměrnou roční koncentraci **PM<sub>2,5</sub>** má hodnotu  $25 \mu\text{g}\cdot\text{m}^{-3}$ , naměřená hodnota se tak pohybuje na úrovni 46 % hodnoty imisního limitu. Avšak od roku 2020 bude platit zpřísňený imisní limit pro tuto škodlivinu, který bude mít hodnotu  $20 \mu\text{g}\cdot\text{m}^{-3}$ .

Imisní limit pro průměrnou roční koncentraci **NO<sub>2</sub>** má hodnotu  $40 \mu\text{g}\cdot\text{m}^{-3}$ , naměřená hodnota se tak pohybuje na úrovni 44 % hodnoty imisního limitu.

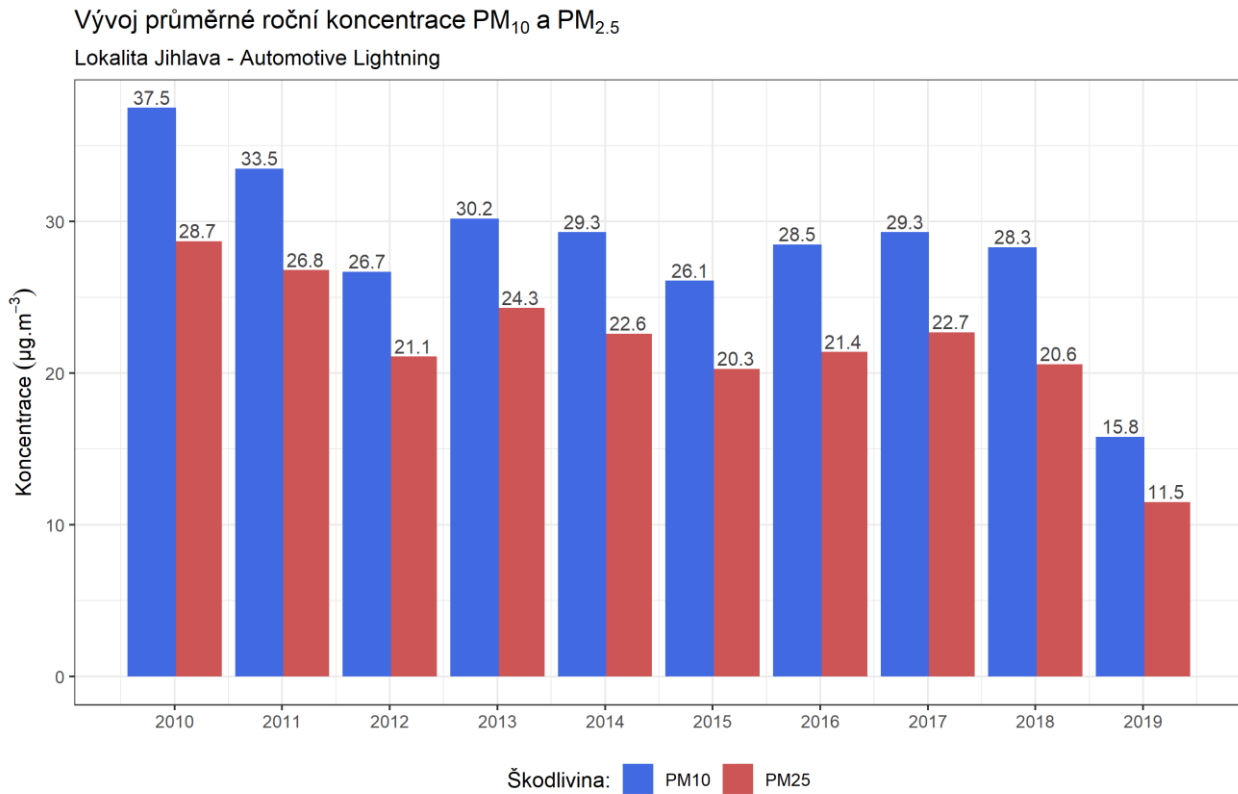
Tab. 2 – Statistické ukazatele měřených hodinových škodlivin a meteorologických prvků, rok 2019

STATISTIKA	PM10	PM25	NO	NO2	NOX	WS	H	T
PRŮMĚR	15,8	11,5	11,6	17,7	39,8	1,2	79,3	9,8
MEDIÁN	11,5	8	2,4	12,3	18,7	0,9	85,6	9,1
MINIMUM	0,2	0,1	0	0	0	0	19,2	-13,1
MAXIMUM	380,3	307,8	284,5	371,8	512,2	6,1	99,6	36,1



Obr. 4 – Průměrné roční koncentrace jednotlivých škodlivin v lokalitě Automotive Lighting, rok 2019

Následující graf na Obr. 5 zobrazuje vývoj průměrných ročních koncentrací PM<sub>10</sub> a PM<sub>2,5</sub> od roku 2010. Z hodnot je patrné, že proti roku 2010 se situace postupně zlepšuje. V roce 2019 pak došlo v případě obou škodlivin k výraznému poklesu průměrných ročních koncentrací, rok 2019 tak byl nejlepším ve sledovaném období.

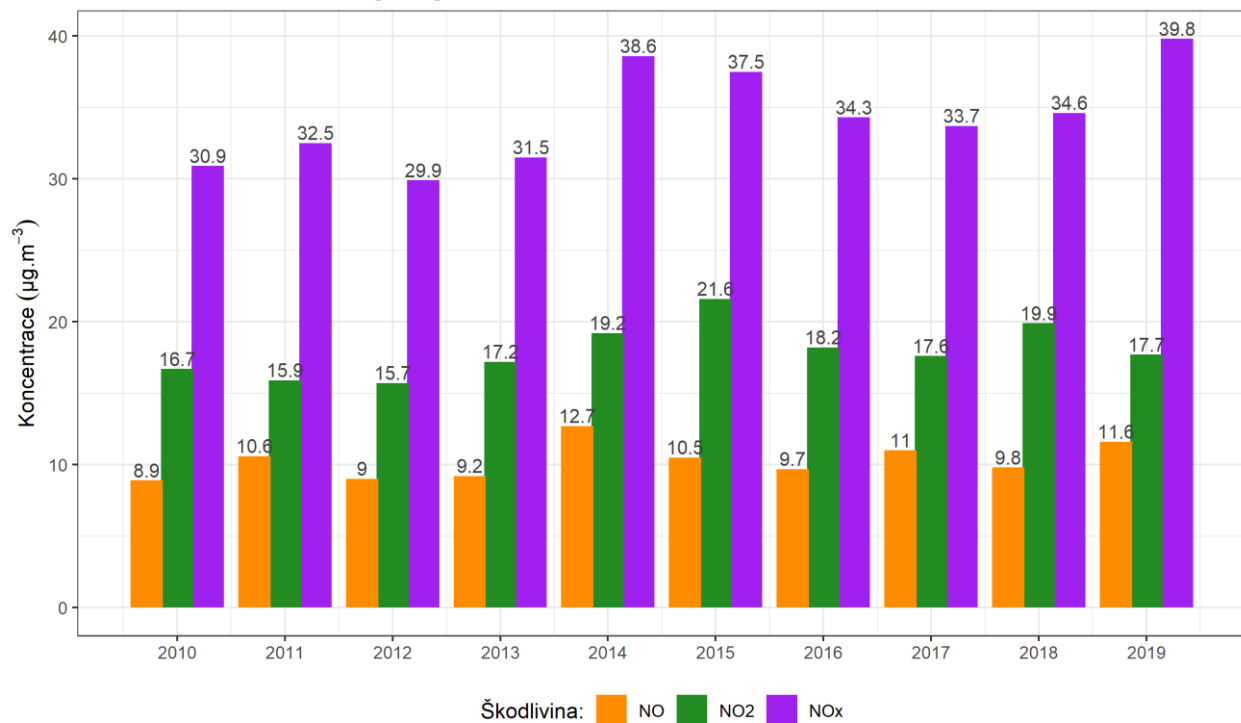


Obr. 5 – Vývoj průměrných ročních koncentrací PM<sub>10</sub> a PM<sub>2,5</sub>, lokalita Automotive Lighting, 2010–2019

V případě koncentrací oxidů dusíku naopak došlo v roce 2019 k mírnému nárůstu koncentrací, zejména pak v případě NO a NO<sub>x</sub>. Nejvyšší hodnoty NO<sub>2</sub> však byly naměřeny v letech 2014 a 2015. Grafické znázornění koncentrací oxidů dusíku je uvedeno na následujícím Obr. 6.

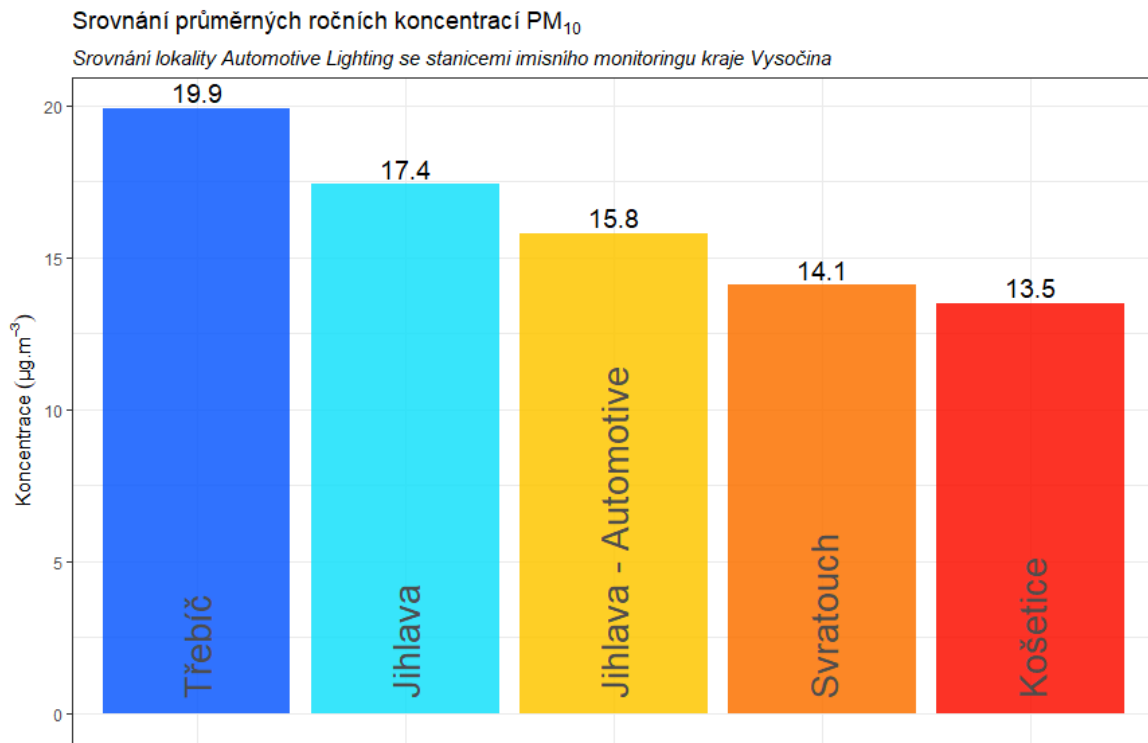
### Vývoj průměrné roční koncentrace NO, NO<sub>2</sub> a NO<sub>x</sub>

Lokalita Jihlava - Automotive Lighting

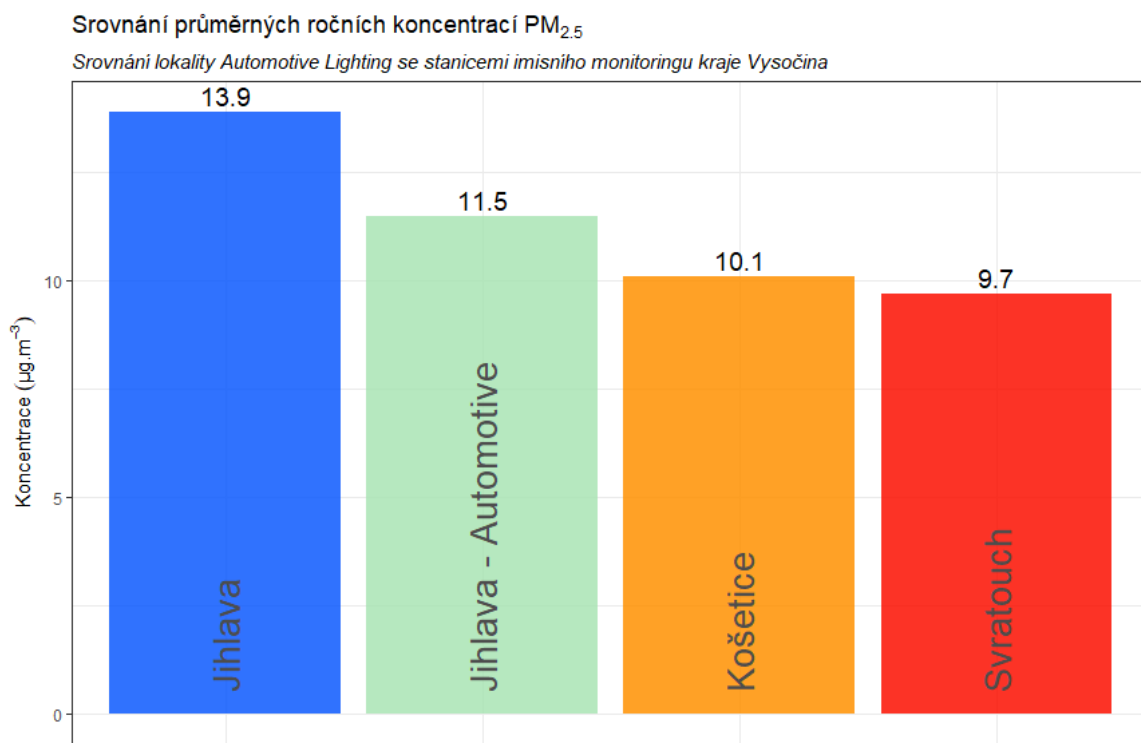


Obr. 6 – Vývoj průměrných ročních koncentrací NO, NO<sub>2</sub> a NO<sub>x</sub>, lokalita Automotive Lighting, 2010–2019

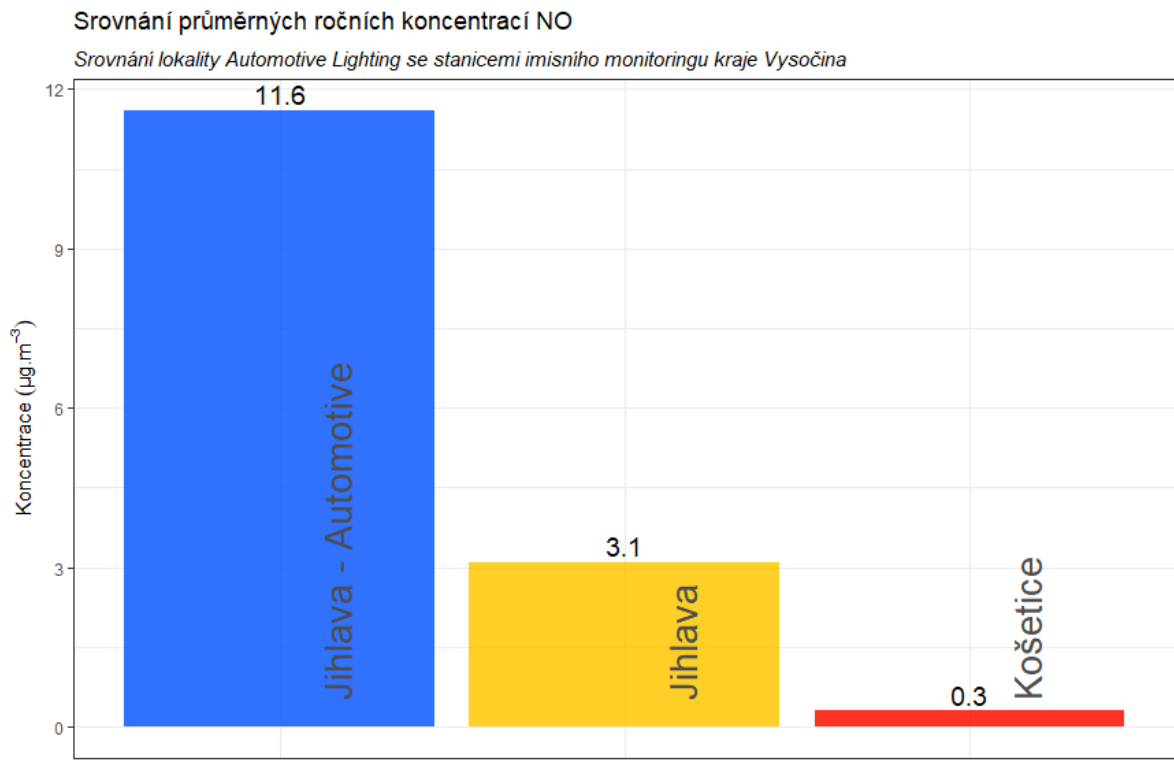
Následující Obr. 7 – Obr. 11 zobrazují srovnání průměrných ročních koncentrací jednotlivých škodlivin s lokalitami státní sítě imisního monitoringu v kraji Vysočina. Z uvedených grafů je patrné, že v lokalitě Automotive Lighting byly naměřeny nejvyšší průměrné roční koncentrace všech škodlivin. V případě prašnosti není rozdíl mezi jednotlivými lokalitami velký, v případě oxidů dusíku je výraznější.



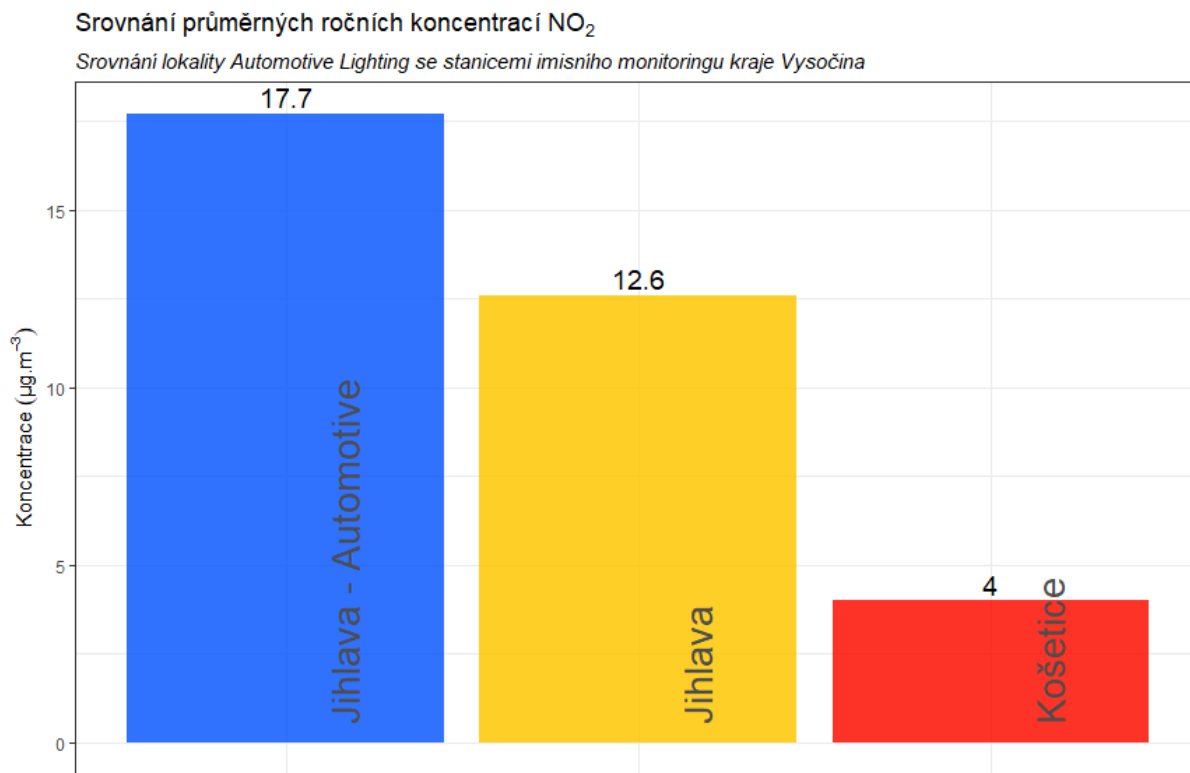
Obr. 7 – Srovnání průměrných ročních koncentrací PM<sub>10</sub> v roce 2019, lokality kraje Vysočina



Obr. 8 - Srovnání průměrných ročních koncentrací PM<sub>2,5</sub> v roce 2019, lokality kraje Vysočina



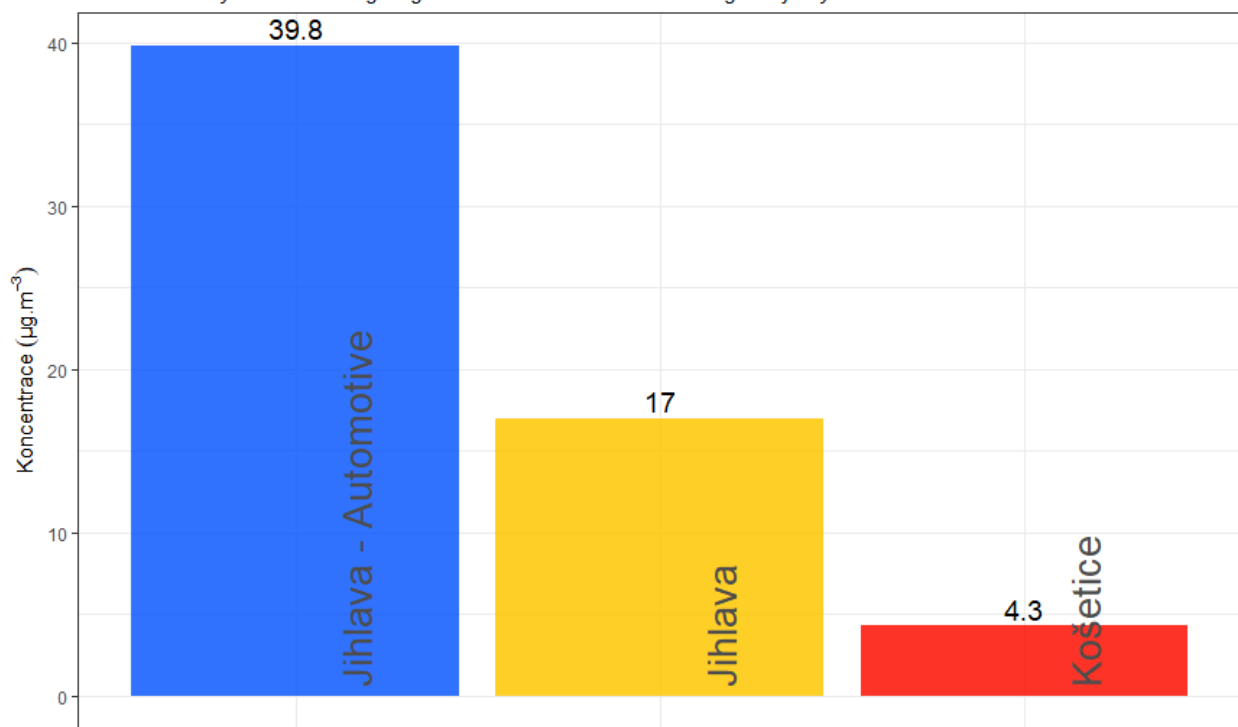
Obr. 9 - Srovnání průměrných ročních koncentrací NO v roce 2019, lokality kraje Vysočina



Obr. 10 - Srovnání průměrných ročních koncentrací  $\text{NO}_2$  v roce 2019, lokality kraje Vysočina

Srovnání průměrných ročních koncentrací  $\text{NO}_x$

Srovnání lokality Automotive Lighting se stanicemi imisního monitoringu kraje Vysočina



Obr. 11 - Srovnání průměrných ročních koncentrací  $\text{NO}_x$  v roce 2019, lokality kraje Vysočina

### 3 VÝVOJ PRŮMĚRNÝCH MĚSÍČNÍCH KONCENTRACÍ

Následující tabulka a grafy zobrazují vývoj průměrných měsíčních koncentrací jednotlivých škodlivin v roce 2019. Koncentrace suspendovaných částic i oxidů dusíku bývají zpravidla vyšší v zimních měsících, kdy jsou jednak zhoršené rozptylové podmínky a rovněž se na koncentracích podílí vytápění a lokální toopeniště.

*Tab. 3 – Vývoj průměrných měsíčních koncentrací škodlivin ( $\mu\text{g.m}^{-3}$ ) a meteorologických prvků – rychlosťi větru ws ( $\text{m.s}^{-1}$ ), relativní vlhkosti vzduchu h (%) a teploty vzduchu t ( $^{\circ}\text{C}$ ). Průměry jsou vypočteny z hodinových hodnot.*

MĚSÍC	PM10	PM25	NO	NO2	NOX	WS	H	T
LEDEN	19,7	14,9	7,4	14,5	25,3	2,1	86,2	-2,5
ÚNOR	22,6	17,9	35,4	24,5	77,9	1,2	79,1	1,2
BŘEZEN	10	7,6	21,2	13,3	45,3	1,7	76,6	5,2
DUBEN	15,2	10,8	7,9	20,7	32,9	1,3	67,8	8,8
KVĚTEN	8,4	5,9	7,7	15,4	28,7	1,4	78,2	10,4
ČERVEN	11,1	7,5	6,3	24,7	33,9	0,8	70,6	21,3
ČERVENEC	13,4	8,1	8	18	30,5	1,1	69,6	19,1
SRPEN	13	8,4	8,9	22	34,5	0,8	75,1	19,6
ZÁŘÍ	17,9	10,9	15,6	24,1	50,8	0,9	77	14,7
ŘÍJEN	17,5	13,6	14,3	22	94,4	0,8	89,1	10,7
LISTOPAD	14,6	11,4	3,5	6,8	11,9	1	92,9	6,3
PROSINEC	26,2	21,3	4,6	7,4	14,2	1,2	89,3	2

Graficky jsou vývoje průměrných měsíčních koncentrací v roce 2019 zobrazeny na Obr. 12 pro suspendované částice PM<sub>10</sub> a PM<sub>2,5</sub>, a na Obr. 13 pro oxidy dusíku.

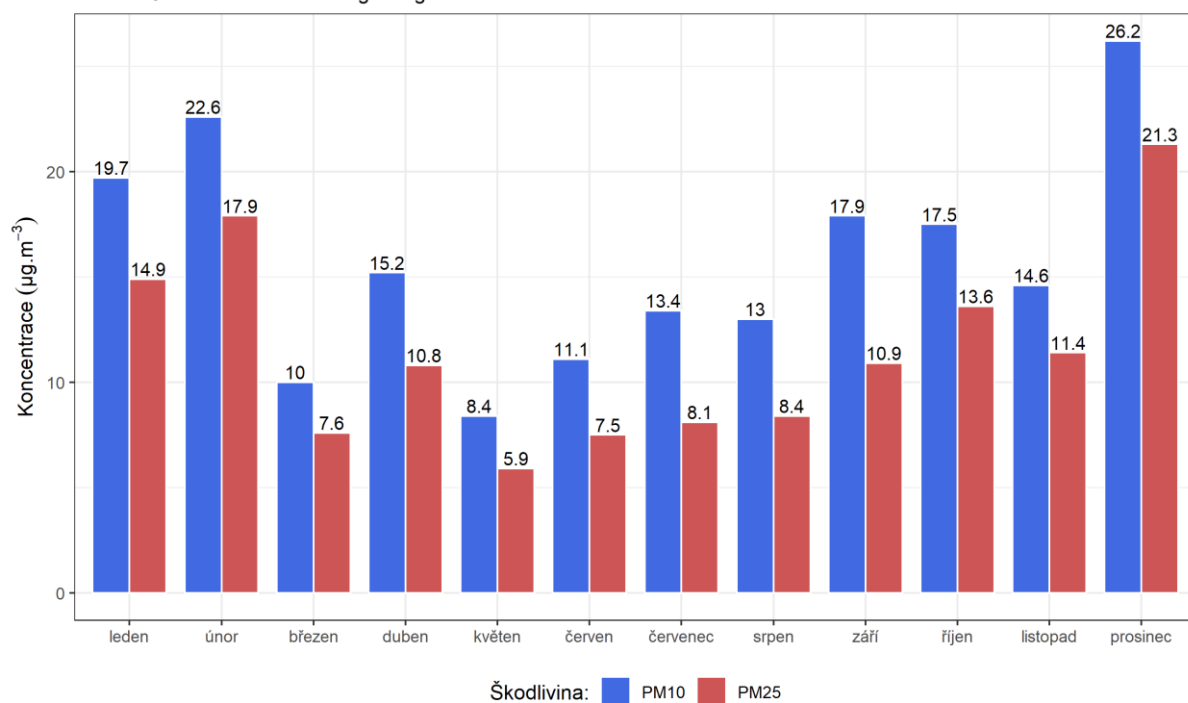
Z grafů je patrné, že vyšší koncentrace suspendovaných částic jsou měřeny především v topné sezóně, kdy se k ostatním zdrojům částic přidává ten nejvýznamnější – lokální toopeniště. Naopak v letních měsících jsou koncentrace pouze nízké. Nejvyšší koncentrace PM<sub>10</sub> i PM<sub>2,5</sub> byly naměřeny v prosinci, nejnižší pak v květnu.

To v případě oxidů dusíku takto zřetelný vliv není, závisí spíše na lokálním ovlivnění dopravou, které se pak nejvíce odrazí v koncentracích NO. Nejvyšší koncentrace oxidů dusíku NO<sub>x</sub> tak byly naměřeny v říjnu, kdy vzrostly právě koncentrace NO. Koncentrace NO<sub>2</sub> vznikají oxidací NO v atmosféře, jsou také připisovány vytápění. I proto jsou nejvyšší koncentrace NO<sub>2</sub> naměřeny v topné sezóně, konkrétně v únoru. V létě jsou koncentrace spíše nižší, na poklesu koncentrací NO<sub>2</sub> se podílí i fotochemické procesy v atmosféře vedoucí k tvorbě přízemního ozónu.

Vliv meteorologických podmínek (Obr. 14) na průměrné měsíční koncentrace pak dokumentují grafy na Obr. 15 - Obr. 20. Je patrné, že teplota a s ní spojené vytápění má výrazný vliv na koncentrace suspendovaných částic.

### Průměrné měsíční koncentrace suspendovaných částic

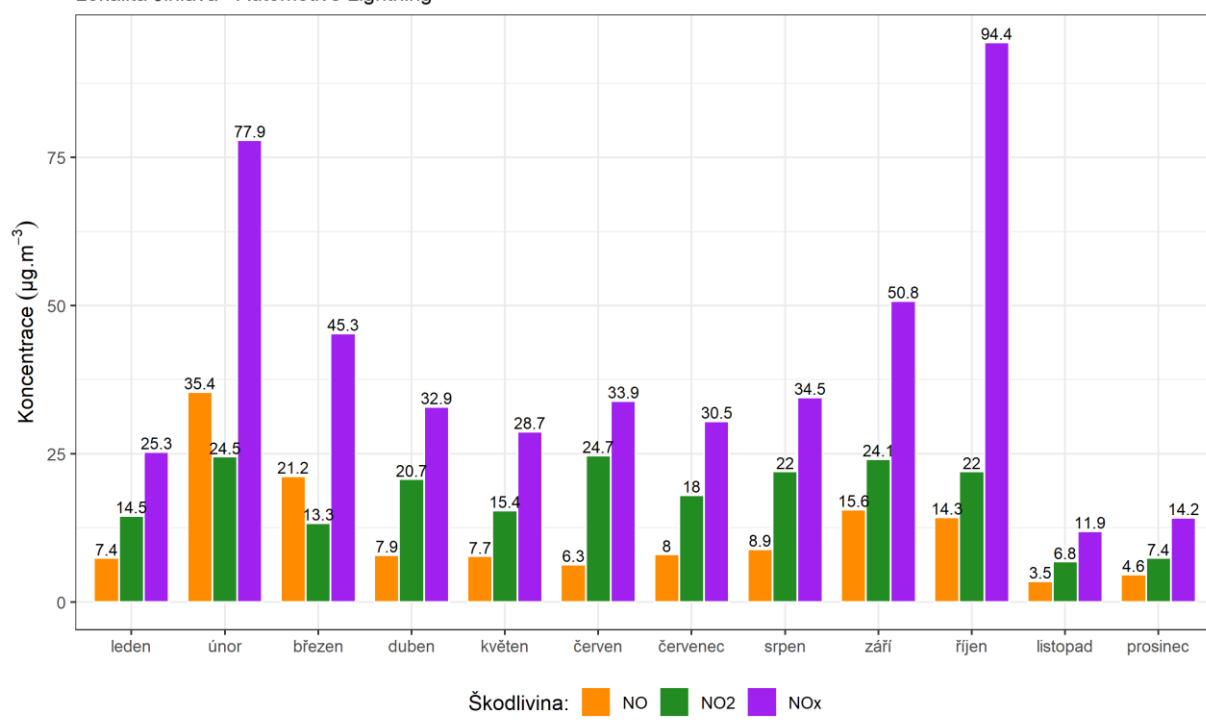
Lokalita Jihlava - Automotive Lightning



Obr. 12 – Vývoj průměrných měsíčních koncentrací suspendovaných částic v roce 2019

### Průměrné měsíční koncentrace oxidů dusíku

Lokalita Jihlava - Automotive Lightning



Obr. 13 – Vývoj průměrných měsíčních koncentrací oxidů dusíku v roce 2019

## Průměrné měsíční hodnoty meteorologických veličin

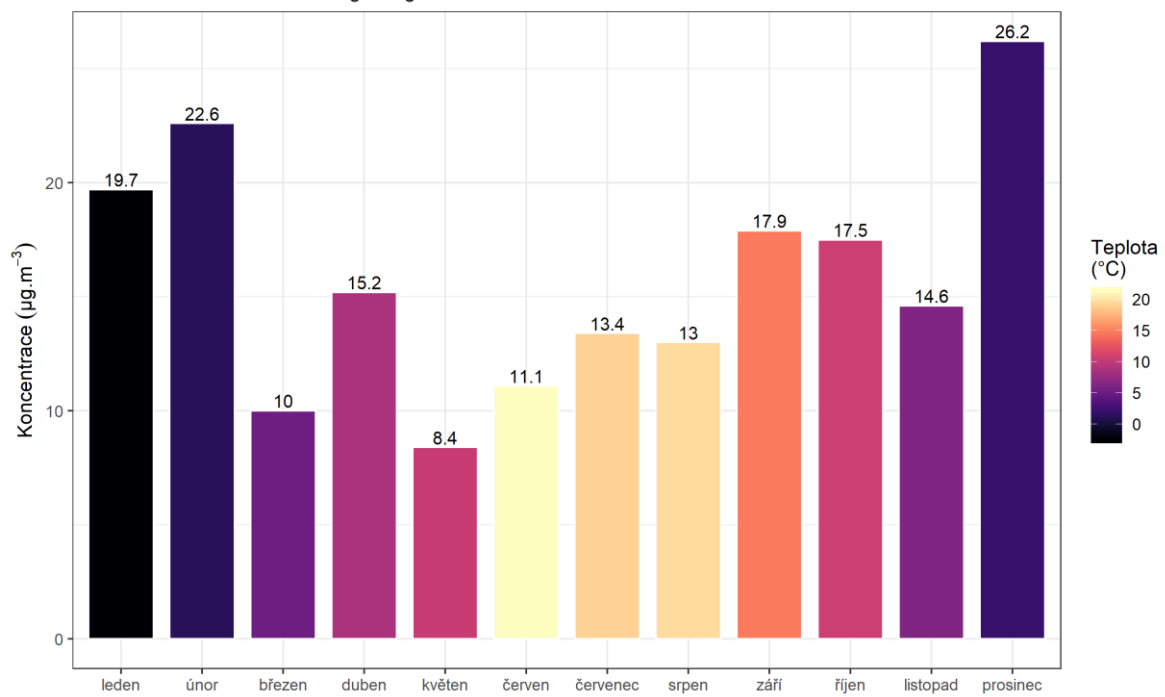
Lokalita Jihlava - Automotive Lightning



Obr. 14 – Průměrné měsíční hodnoty měřených meteorologických veličin, lokalita Automotive Lighting, rok 2019

Závislost průměrné měsíční koncentrace  $\text{PM}_{10}$  na teplotě

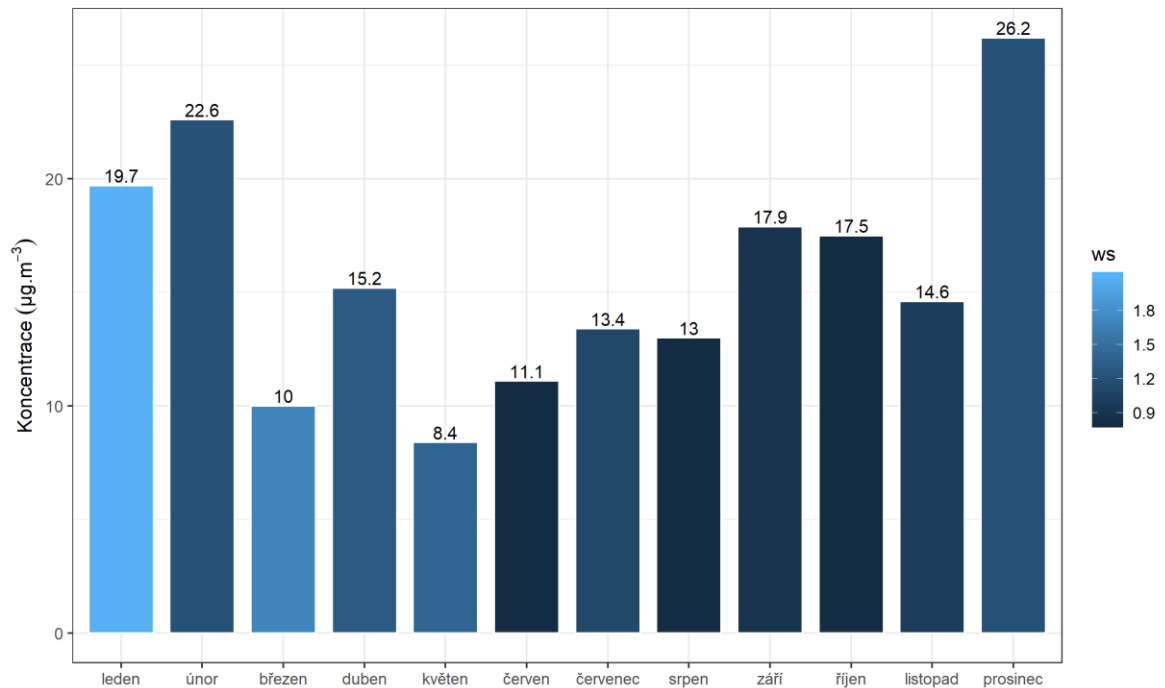
Lokalita Jihlava - Automotive Lighting



Obr. 15 – Vliv průměrné měsíční teploty na průměrné měsíční koncentrace  $\text{PM}_{10}$ , Automotive Lighting, 2019

Závislost průměrné měsíční koncentrace  $\text{PM}_{10}$  na rychlosti větru

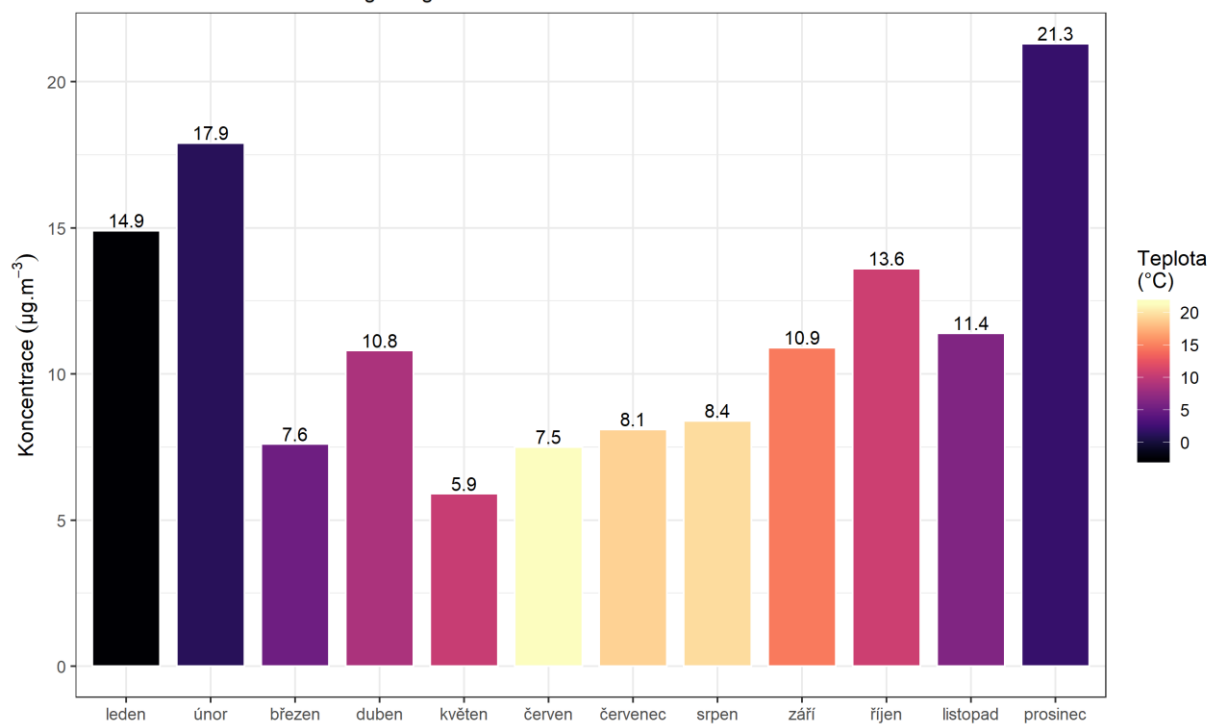
Lokalita Jihlava - Automotive Lightning



Obr. 16 – Vliv průměrné měsíční rychlosti větru na průměrné měsíční koncentrace  $\text{PM}_{10}$ , Automotive Lighting, 2019

Závislost průměrné měsíční koncentrace PM<sub>2,5</sub> na teplotě

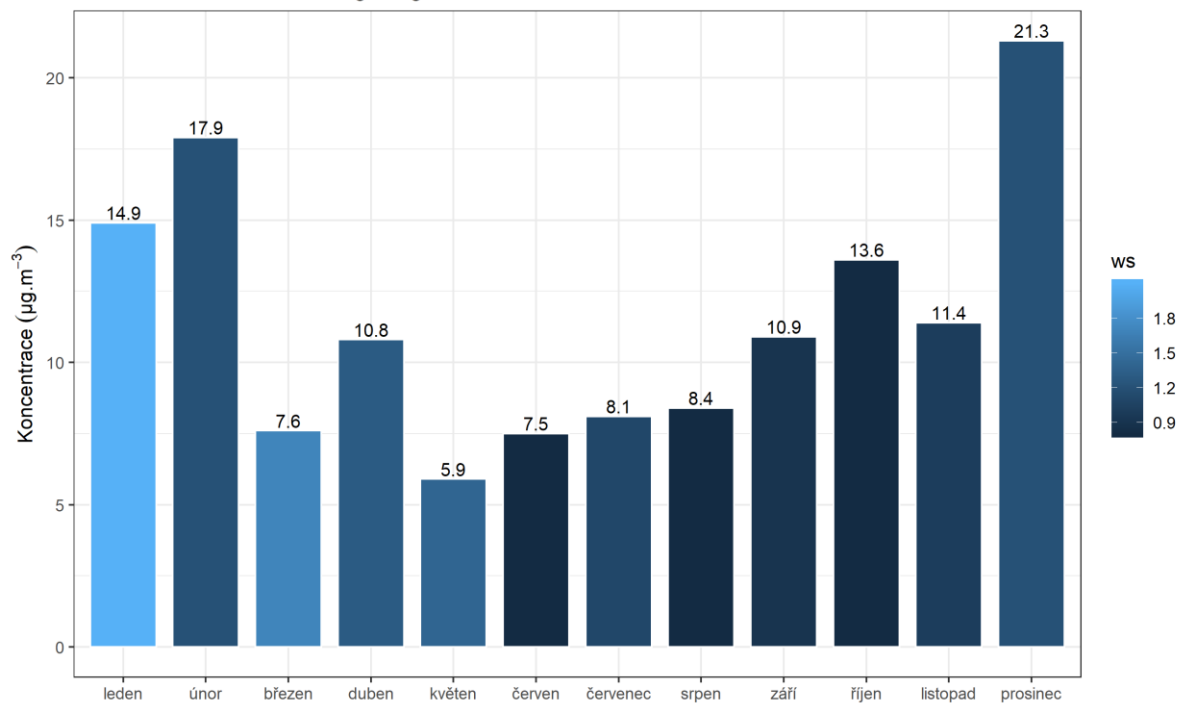
Lokalita Jihlava - Automotive Lighting



Obr. 17 – Vliv průměrné měsíční teploty na průměrné měsíční koncentrace PM<sub>2,5</sub>, Automotive Lighting, 2019

Závislost průměrné měsíční koncentrace PM<sub>2,5</sub> na rychlosti větru

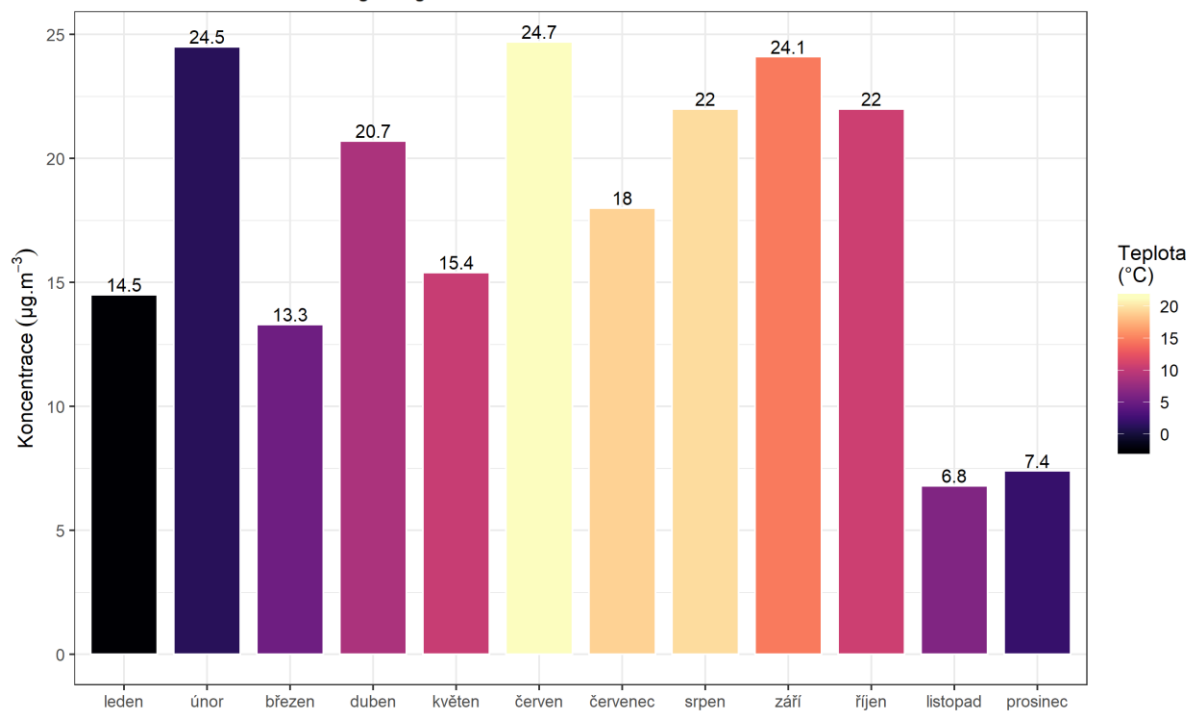
Lokalita Jihlava - Automotive Lighting



Obr. 18 – Vliv průměrné měsíční rychlosti větru na průměrné měsíční koncentrace PM<sub>2,5</sub>, Automotive Lighting, 2019

### Závislost průměrné měsíční koncentrace NO<sub>2</sub> na teplotě

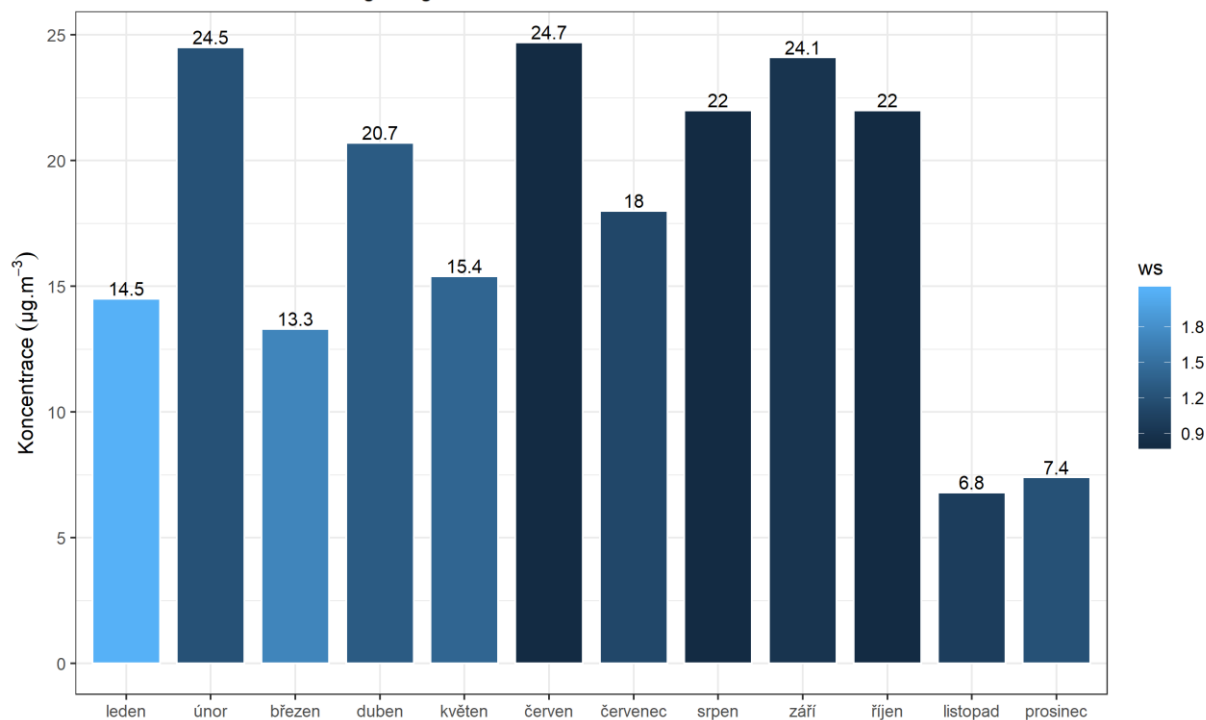
Lokalita Jihlava - Automotive Lighting



Obr. 19 – Vliv průměrné měsíční teploty na průměrné měsíční koncentraci NO<sub>2</sub>, Automotive Lighting, 2019

### Závislost průměrné měsíční koncentrace NO<sub>2</sub> na rychlosti větru

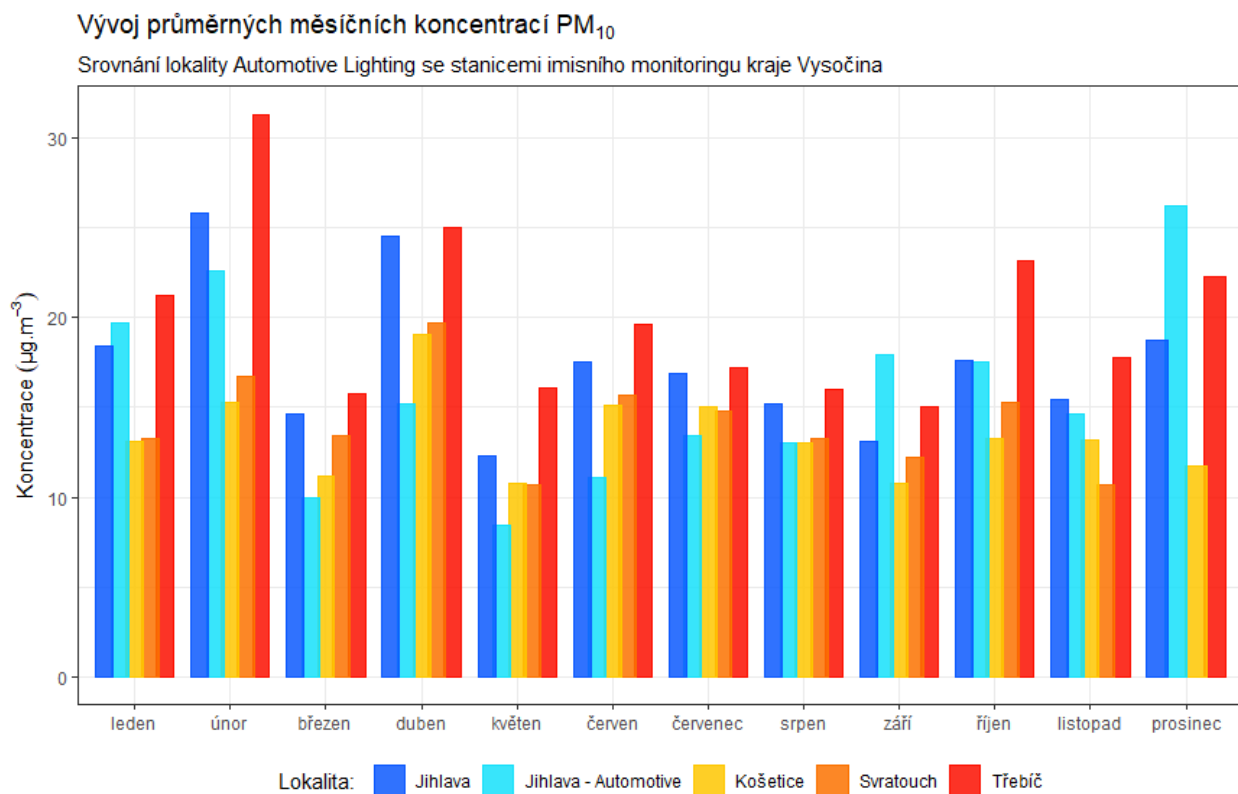
Lokalita Jihlava - Automotive Lightning



Obr. 20 – Vliv průměrné měsíční rychlosti větru na průměrné měsíční koncentraci NO<sub>2</sub>, Automotive Lighting, 2019

Následující grafy na Obr. 21 – Obr. 25 zobrazují srovnání průměrných měsíčních koncentrací jednotlivých škodlivin v roce 2019 v lokalitách Automotive – Lighting a dalších lokalitách kraje Vysočina. U suspendovaných částic je patrné, že v letních měsících jsou koncentrace na všech lokalitách srovnatelné, rozdíly nastávají především v topné sezóně a na základě ovlivnění lokálními toopeništi a vytápěním.

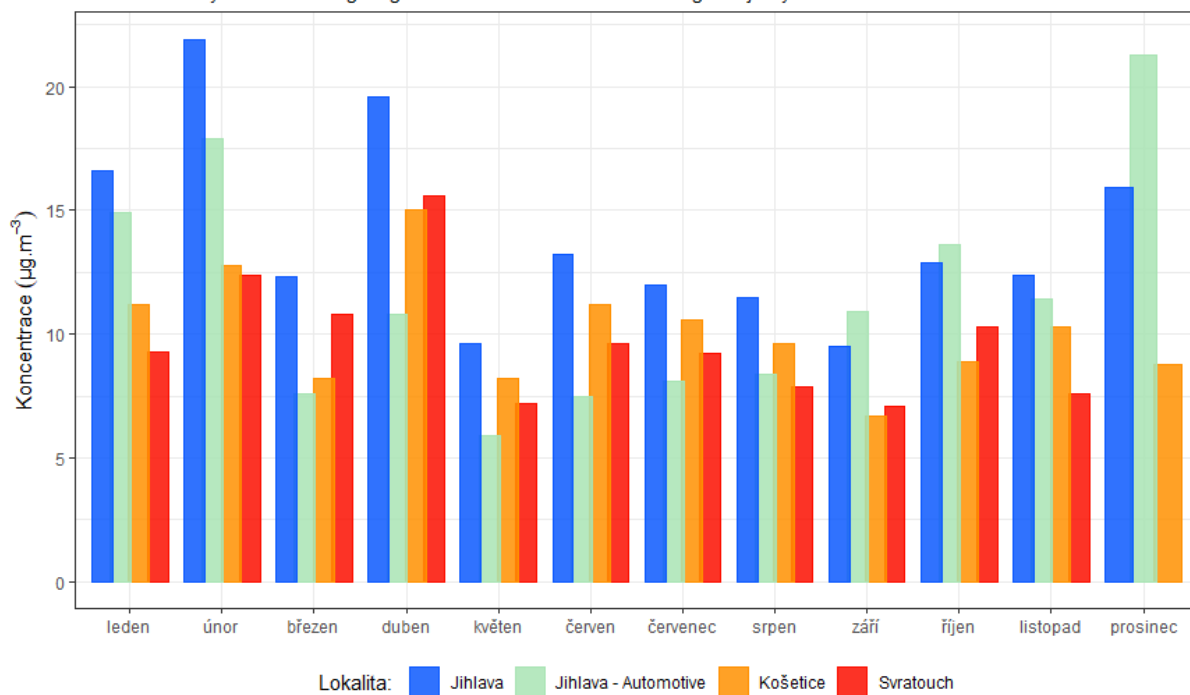
V případě oxidů dusíku lze pozorovat obdobné trendy zejména na Jihlavských lokalitách, avšak samotné koncentrace jsou v lokalitě Automotive Lighting výrazně vyšší kvůli ovlivnění automobilovou dopravou. Potvrzují to zejména významné rozdíly v koncentracích NO.



Obr. 21 – Srovnání průměrných měsíčních koncentrací PM<sub>10</sub> v roce 2019, lokality kraje Vysočina

### Vývoj průměrných měsíčních koncentrací PM<sub>2,5</sub>

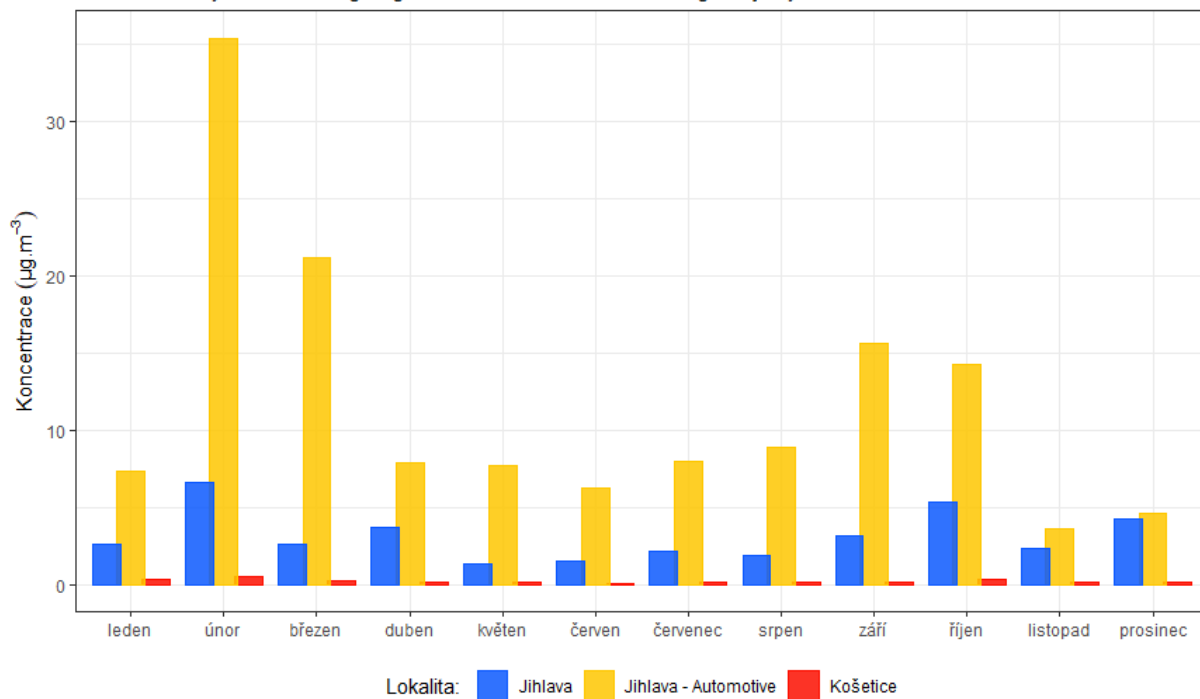
Srovnání lokality Automotive Lighting se stanicemi imisního monitoringu kraje Vysočina



Obr. 22 – Srovnání průměrných měsíčních koncentrací PM<sub>2,5</sub> v roce 2019, lokality kraje Vysočina

### Vývoj průměrných měsíčních koncentrací NO

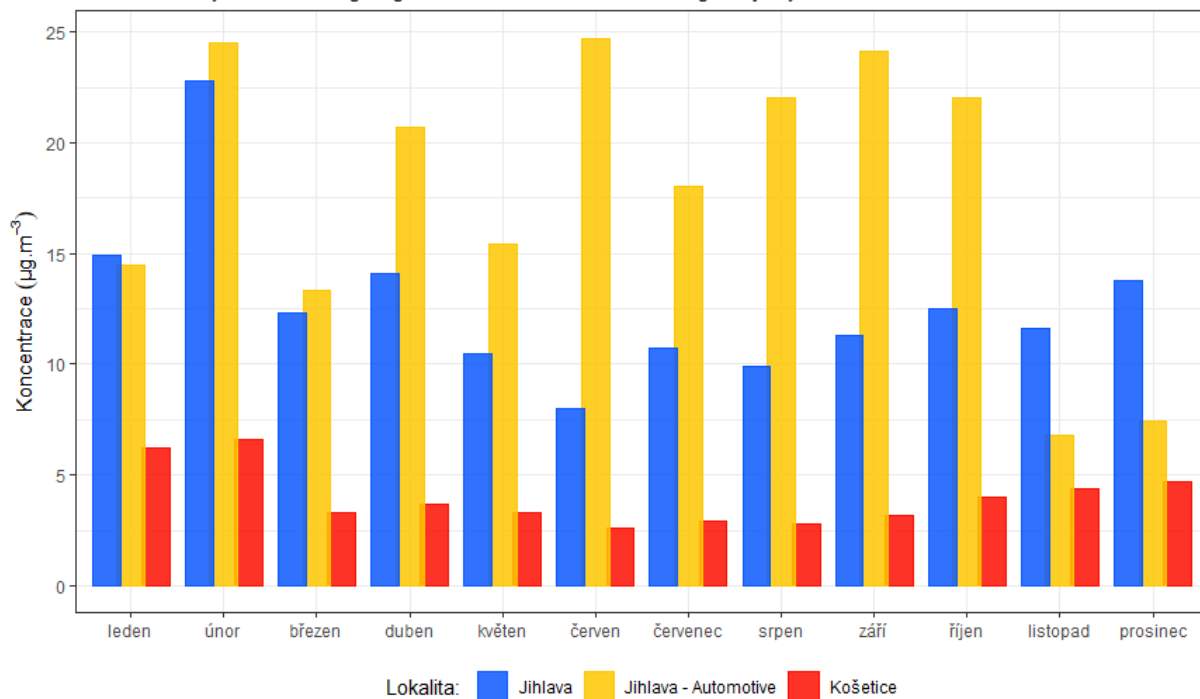
Srovnání lokality Automotive Lighting se stanicemi imisního monitoringu kraje Vysočina



Obr. 23 – Srovnání průměrných měsíčních koncentrací NO v roce 2019, lokality kraje Vysočina

### Vývoj průměrných měsíčních koncentrací NO<sub>2</sub>

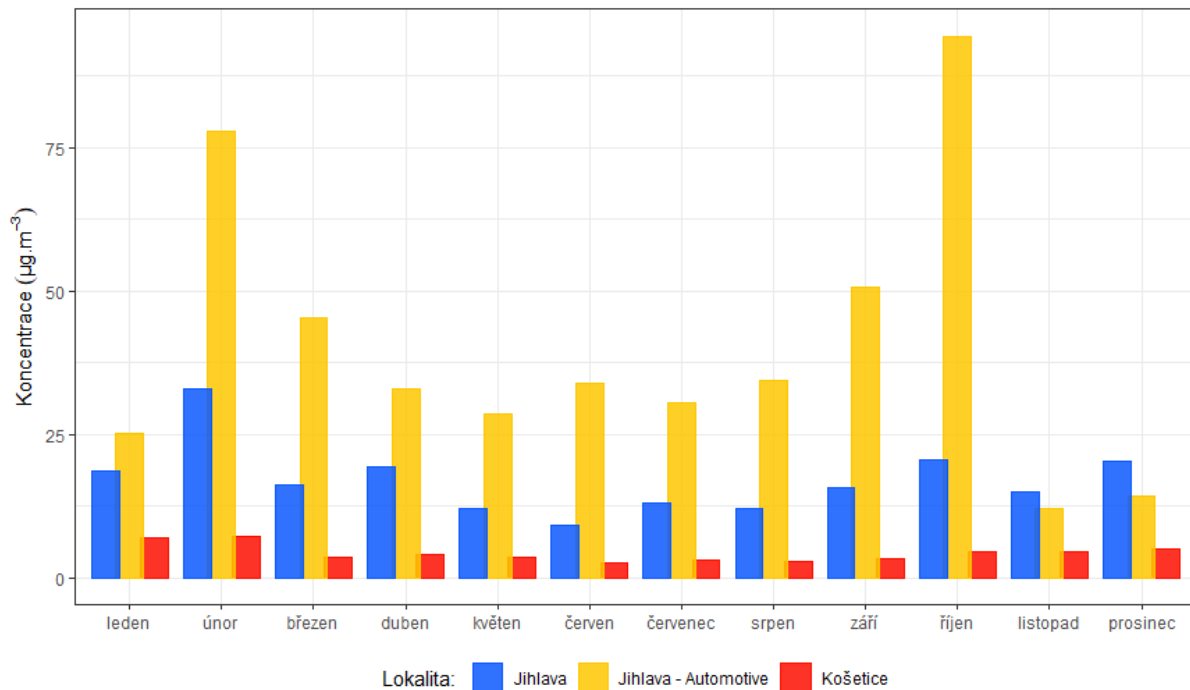
Srovnání lokality Automotive Lighting se stanicemi imisního monitoringu kraje Vysočina



Obr. 24 – Srovnání průměrných měsíčních koncentrací NO<sub>2</sub> v roce 2019, lokality kraje Vysočina

### Vývoj průměrných měsíčních koncentrací NO<sub>x</sub>

Srovnání lokality Automotive Lighting se stanicemi imisního monitoringu kraje Vysočina



Obr. 25 – Srovnání průměrných měsíčních koncentrací NO<sub>x</sub> v roce 2019, lokality kraje Vysočina

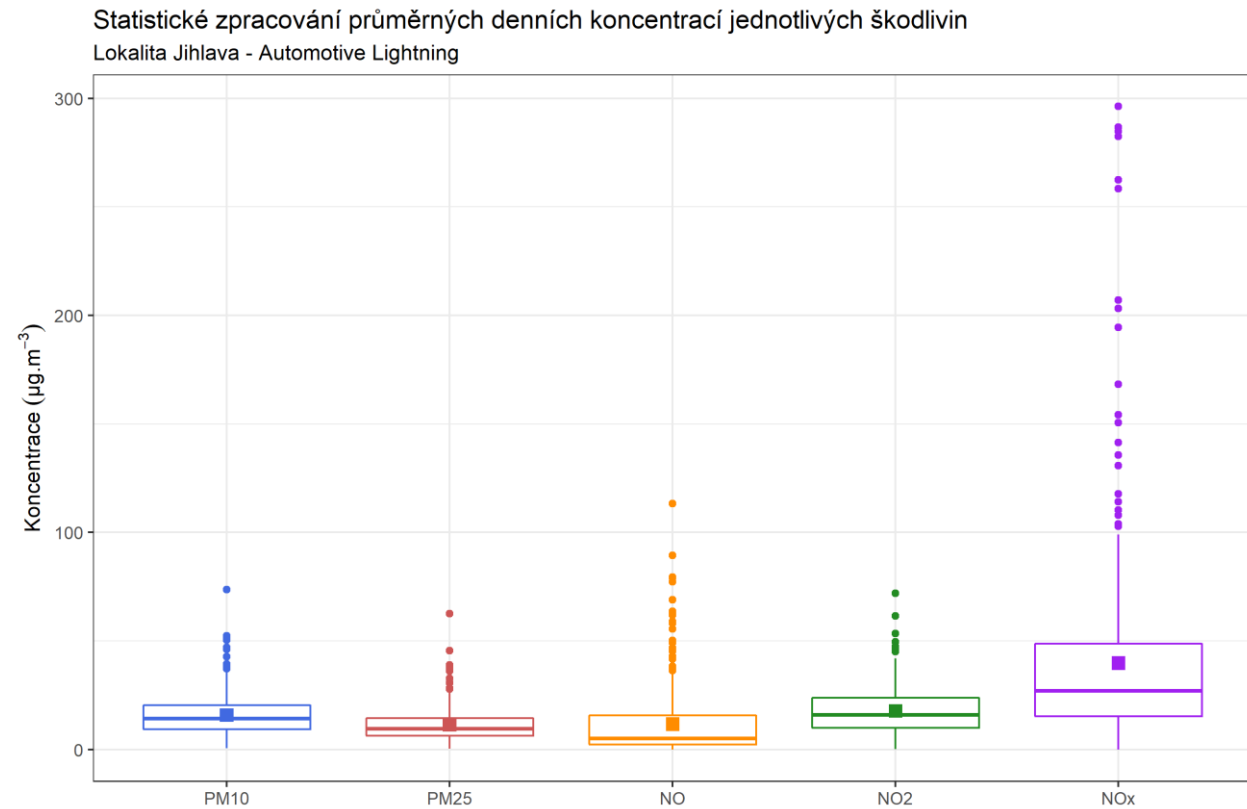
## 4 PRŮMĚRNÉ DENNÍ KONCENTRACE V ROCE 2019

Průměrné denní koncentrace byly uváděny v jednotlivých měsíčních zprávách. V následující Tab. 4 jsou uvedeny statistické údaje vztažené k průměrným denním hodnotám. Ty jsou důležité zejména pro koncentrace PM<sub>10</sub>, protože pro 36. nejvyšší denní koncentraci za kalendářní rok platí imisní limit (50  $\mu\text{g}\cdot\text{m}^{-3}$ ).

Tab. 4 - Statistické zpracování průměrných denních koncentrací jednotlivých škodlivin, rok 2019

STATISTIKA	PM10	PM25	NO	NO2	NOX	WS	H	T
PRŮMĚR	15,8	11,5	11,6	17,7	39,8	1,2	79,3	9,8
MEDIÁN	14,2	9,5	5,1	15,9	26,9	1	80,8	9,5
MINIMUM	0,5	0,4	0	0,1	0	0,2	43,8	-9,2
MAXIMUM	73,6	62,6	113,3	72	296,2	4,6	98,4	27,1

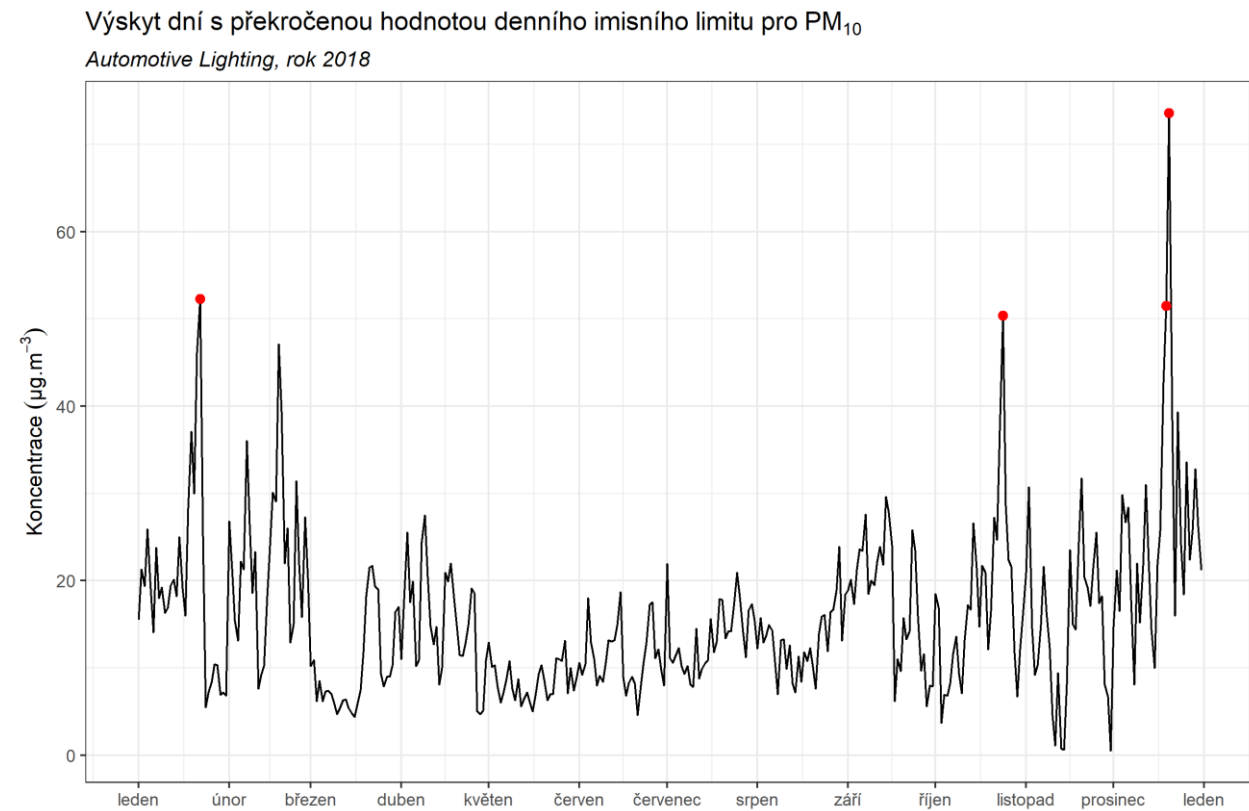
Graficky pak statistiku hodinových koncentrací jednotlivých škodlivin zobrazují tzv. krabicové grafy. Ona krabice (obdélník) zobrazuje rozpětí mezi dolním a horním kvartilem (25. percentil - 75. percentil). V tomto rozhraní se tedy vyskytuje 50 % všech naměřených hodinových hodnot koncentrací. Střední čára v obdélníku vyjadřuje medián, tedy střední hodnotu koncentrací. Čtverečky zobrazují průměrnou hodnotu, která se někdy může od mediánu dosti lišit. Bodově jsou pak zobrazeny *odlehlé hodnoty*, které mají výšší (nebo nižší) hodnotu, než je jeden a půl násobek mezikvartilového rozmezí. Z grafu je patrné, že některé hodnoty jsou odlehlé zejména v případě oxidů dusíku.



Obr. 26 – Statistické zpracování průměrných denních koncentrací jednotlivých škodlivin

#### 4.1 POČET PŘEKROČENÍ HODNOTY IMISNÍHO LIMITU PRO DENNÍ KONCENTRACI PM<sub>10</sub>

Jak již bylo uvedeno dříve, zákon o ochraně ovzduší č. 201/2012 Sb. stanovuje imisní limit pro denní koncentraci PM<sub>10</sub>. Hodnota imisního limitu je 50  $\mu\text{g}\cdot\text{m}^{-3}$  a může být za kalendářní rok 35x překročen (zhruba 10 % dní). Proto se sleduje počet dní s hodnotou průměrné denní koncentrace PM<sub>10</sub> vyšší než 50  $\mu\text{g}\cdot\text{m}^{-3}$ . Výskyt dní s koncentracemi vyššími než 50  $\mu\text{g}\cdot\text{m}^{-3}$  v průběhu roku zobrazuje následující Obr. 27.



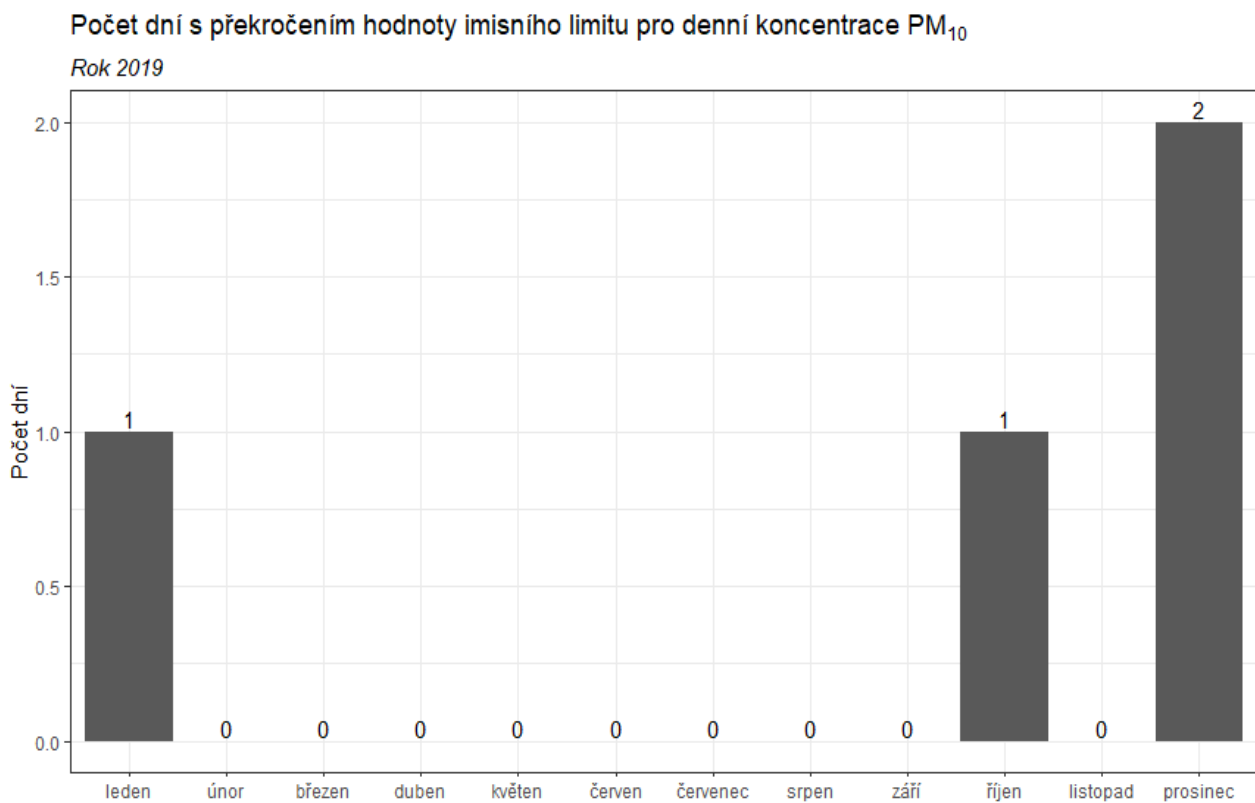
Obr. 27 – Výskyt dní s překročenou hodnotou imisního limitu pro denní koncentraci PM<sub>10</sub>, Automotive Lighting, 2019

Přehled počtu dní s překročením hodnoty imisního limitu pro průměrnou denní koncentraci PM<sub>10</sub> v jednotlivých měsících roku 2019 uvádí následující Tab. 5 a Obr. 28. Opět je patrné, že nejvyšší počet dní s překročenou hodnotou imisního limitu se vyskytuje v topné sezóně, konkrétně pak v prosinci. Mimo topnou sezónu k překračování hodnoty imisního limitu pro průměrnou denní koncentraci PM<sub>10</sub> nedochází.

V kalendářním roce 2019 došlo ke 4 dnům s překročeno hodnotou imisního limitu. **Imisní limit tedy překročen nebyl.**

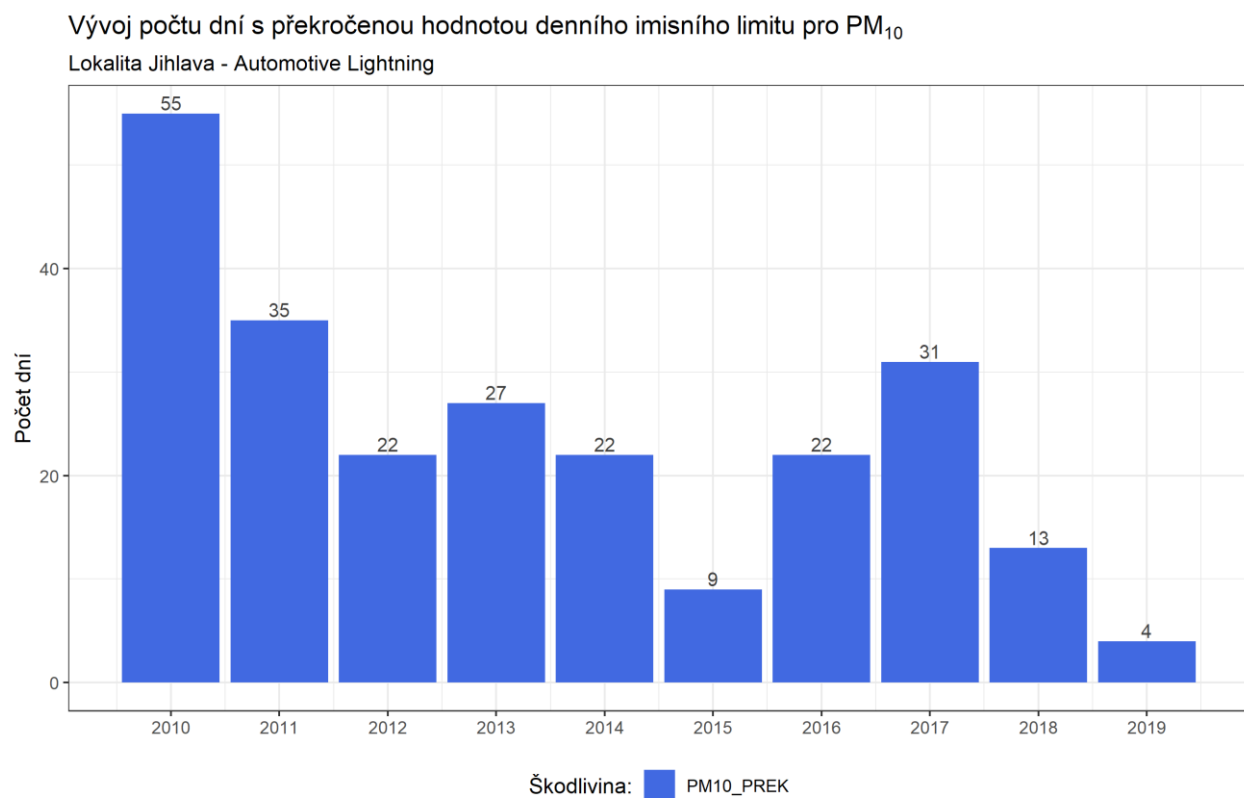
Tab. 5 – Počet dní s překročenou hodnotou imisního limitu pro průměrnou denní koncentraci  $PM_{10}$  v jednotlivých měsících roku 2019

<b>MĚSÍC</b>	<b>POČET PŘEKROČENÍ</b>
LEDEN	1
ÚNOR	0
BŘEZEN	0
DUBEN	0
KVĚTEN	0
ČERVEN	0
ČERVENEC	0
SRPEN	0
ZÁŘÍ	0
ŘÍJEN	1
LISTOPAD	0
PROSINEC	2



Obr. 28 – Počet dní s překročenou hodnotou imisního limitu pro průměrnou denní koncentraci  $PM_{10}$  v jednotlivých měsících roku 2019

Vývoj počtů dní s překročenou hodnotou imisního limitu pro průměrnou denní koncentraci PM<sub>10</sub> zobrazuje následující Obr. 29



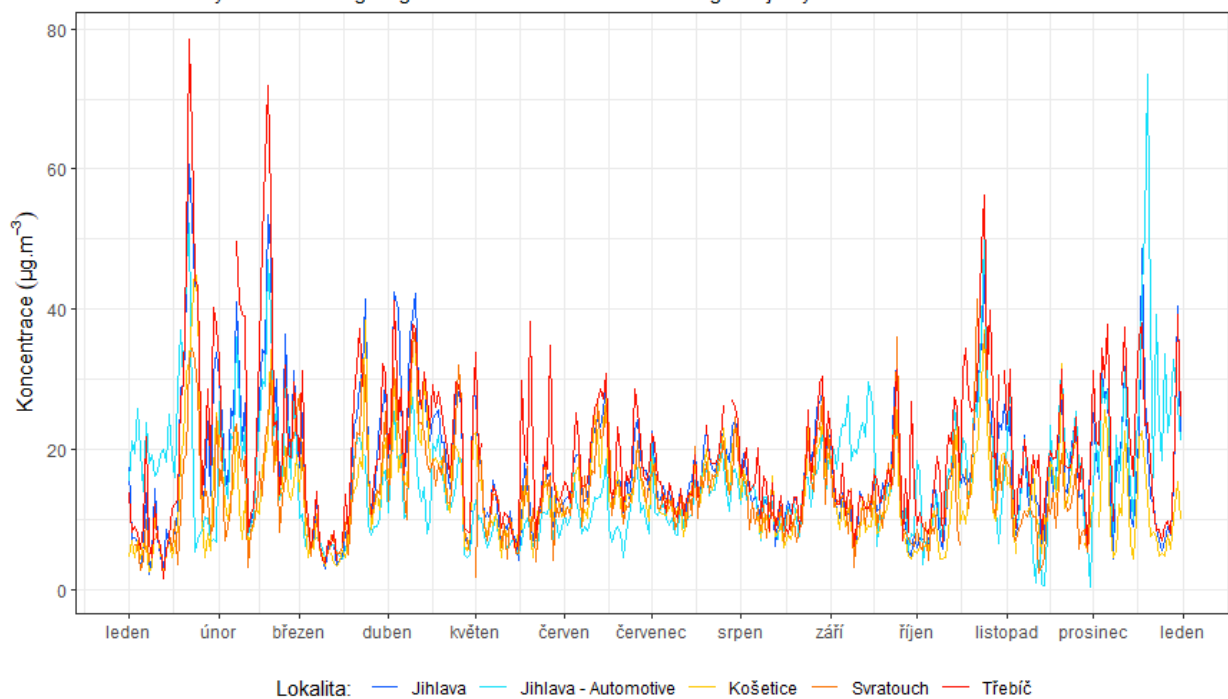
Obr. 29 – Vývoj počtů dní s překročenou hodnotou imisního limitu pro průměrnou denní koncentraci PM<sub>10</sub>, lokalita Automotive Lighting, 2010–2019

Z grafu je patrné, že od roku 2011 nebyl v lokalitě Automotive Lighting překročen imisní limit. Nejnižší počet dní s překročenou hodnotou tohoto limitu bylo naměřeno právě v roce 2019, hodnoty tak pokořily dosavadní minimum z roku 2015.

Následující Obr. 30 – Obr. 34 zobrazují srovnání vývoje průměrných denních koncentrací jednotlivých škodlivin v roce 2019 pro lokality Automotive Lighting a lokality imisního monitoringu kraje Vysočina.

### Vývoj průměrných denních koncentrací PM<sub>10</sub>

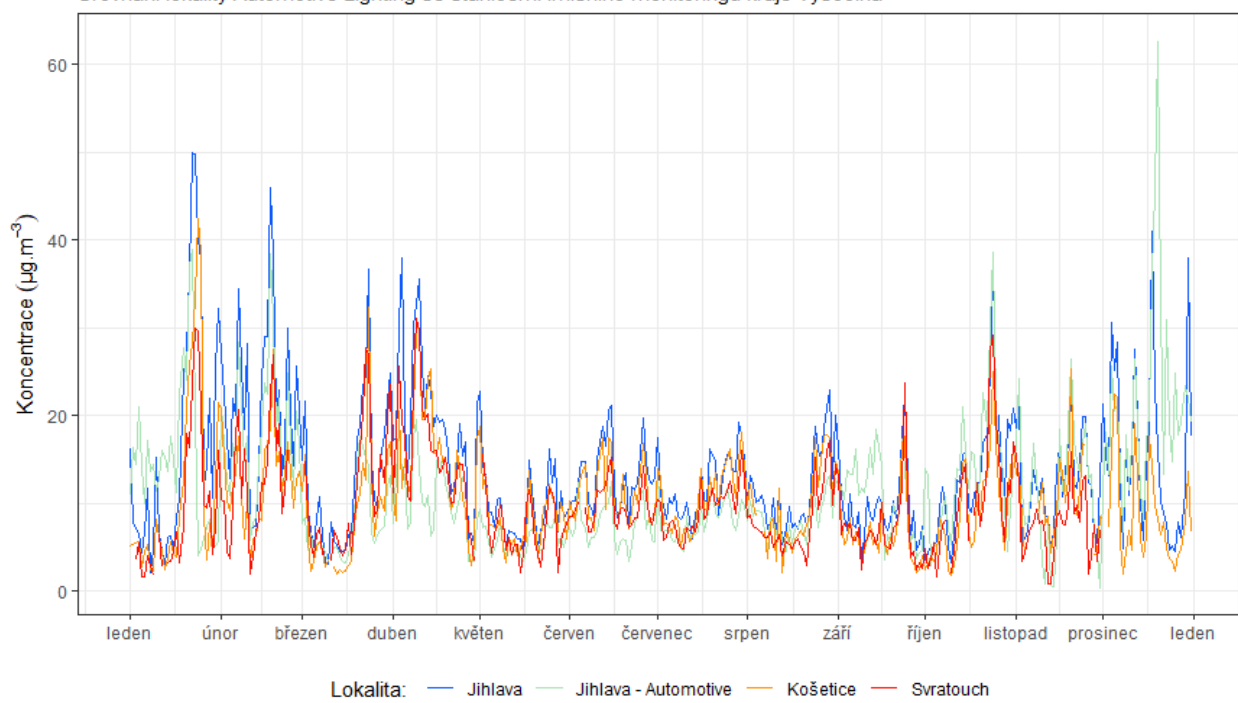
Srovnání lokality Automotive Lighting se stanicemi imisního monitoringu kraje Vysočina



Obr. 30 – Srovnání průměrných denních koncentrací PM<sub>10</sub> v roce 2019, lokality kraje Vysočina

### Vývoj průměrných denních koncentrací PM<sub>2,5</sub>

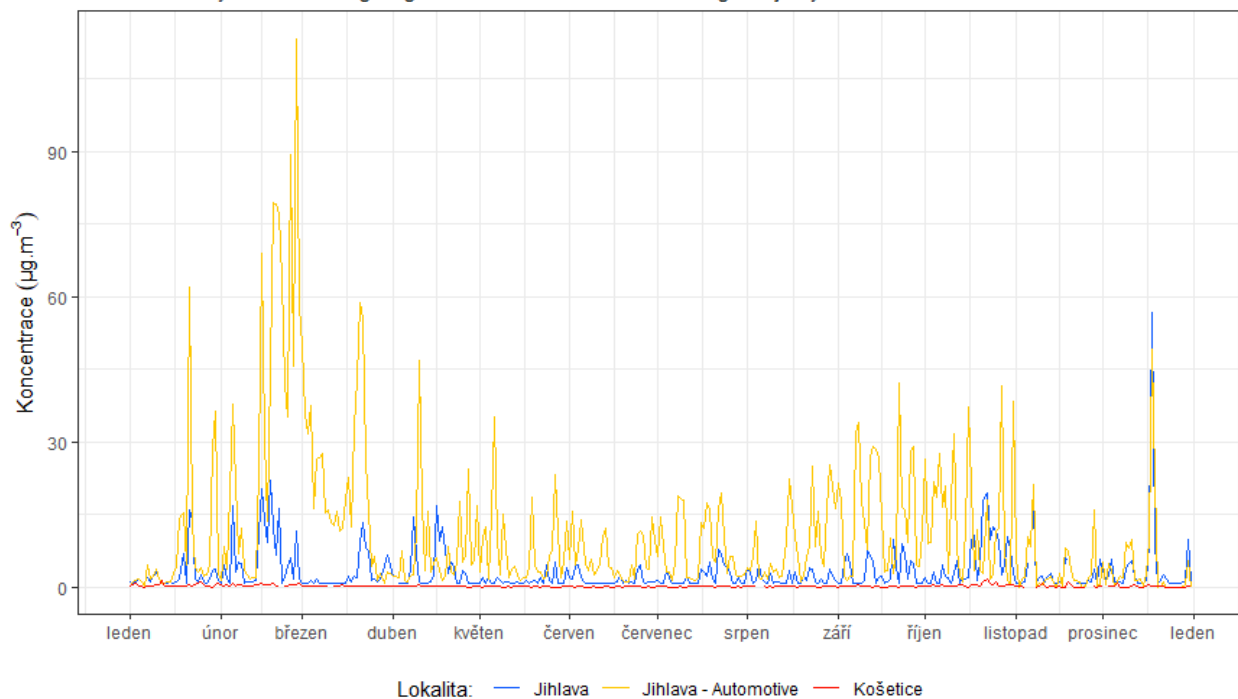
Srovnání lokality Automotive Lighting se stanicemi imisního monitoringu kraje Vysočina



Obr. 31 – Srovnání průměrných denních koncentrací PM<sub>2,5</sub> v roce 2019 lokality kraje Vysočina

### Vývoj průměrných denních koncentrací NO

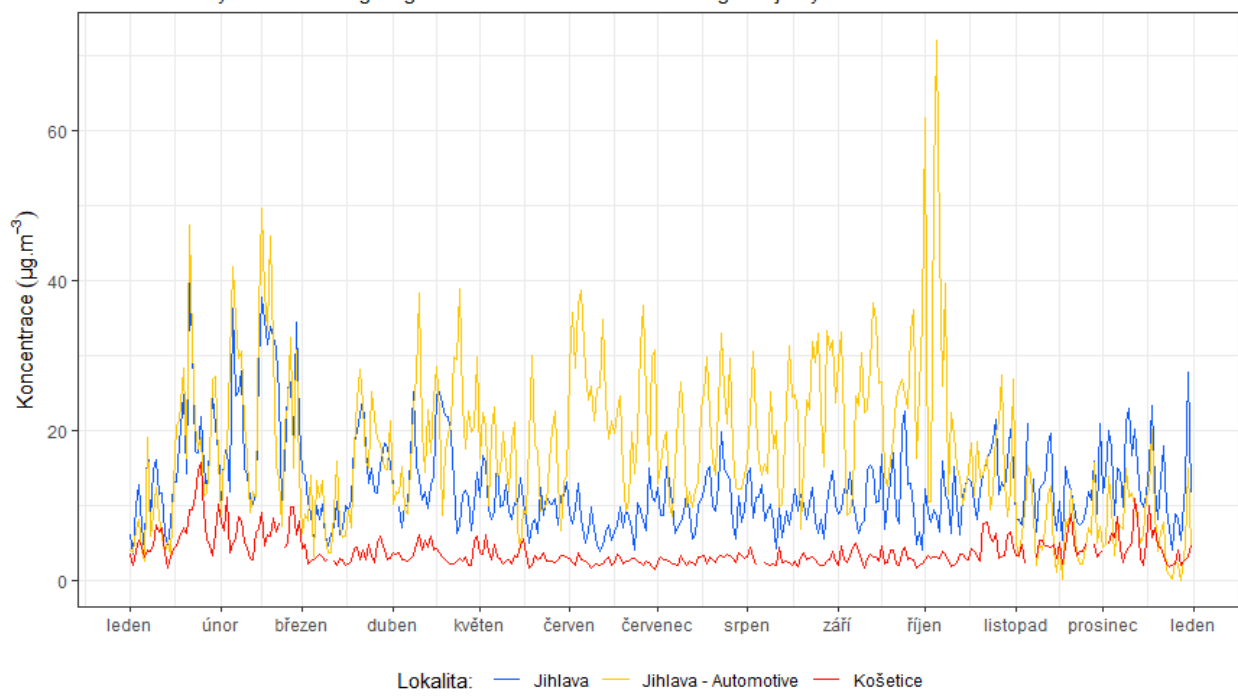
Srovnání lokality Automotive Lighting se stanicemi imisního monitoringu kraje Vysočina



Obr. 32 – Srovnání průměrných denních koncentrací NO v roce 2019, lokality kraje Vysočina

### Vývoj průměrných denních koncentrací NO<sub>2</sub>

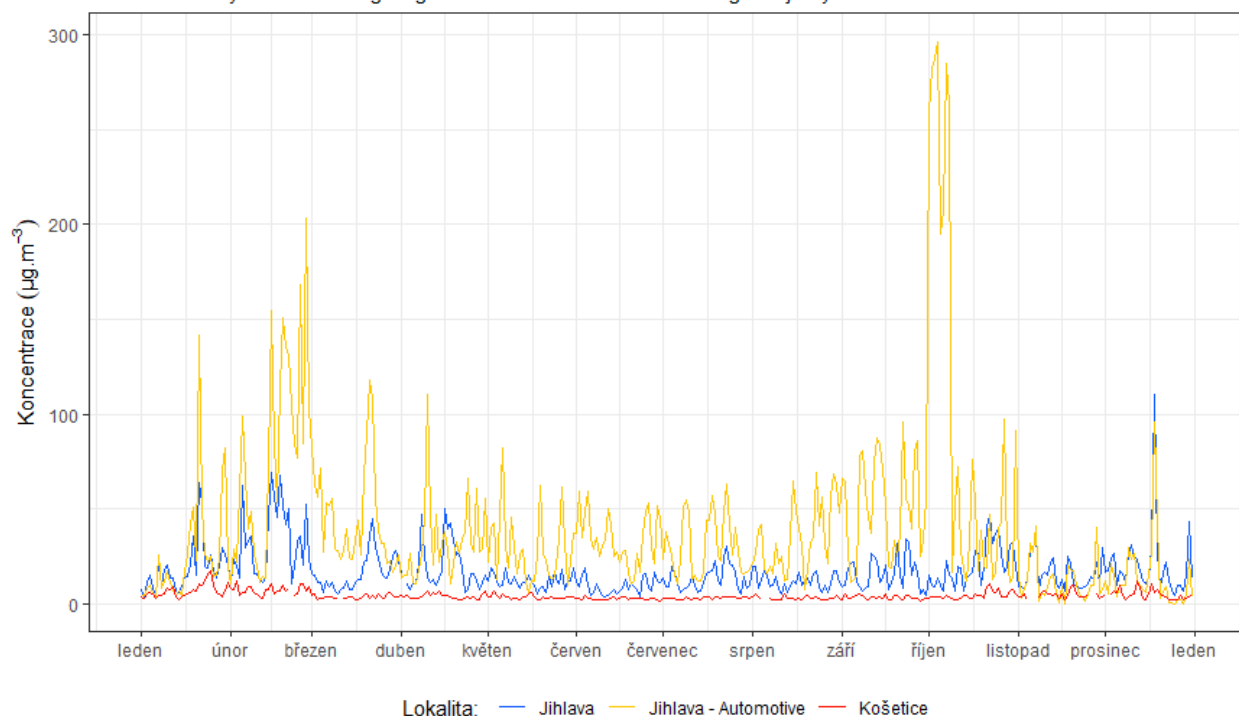
Srovnání lokality Automotive Lighting se stanicemi imisního monitoringu kraje Vysočina



Obr. 33 – Srovnání průměrných denních koncentrací NO<sub>2</sub> v roce 2019, lokality kraje Vysočina

### Vývoj průměrných denních koncentrací NO<sub>x</sub>

Srovnání lokality Automotive Lighting se stanicemi imisního monitoringu kraje Vysočina

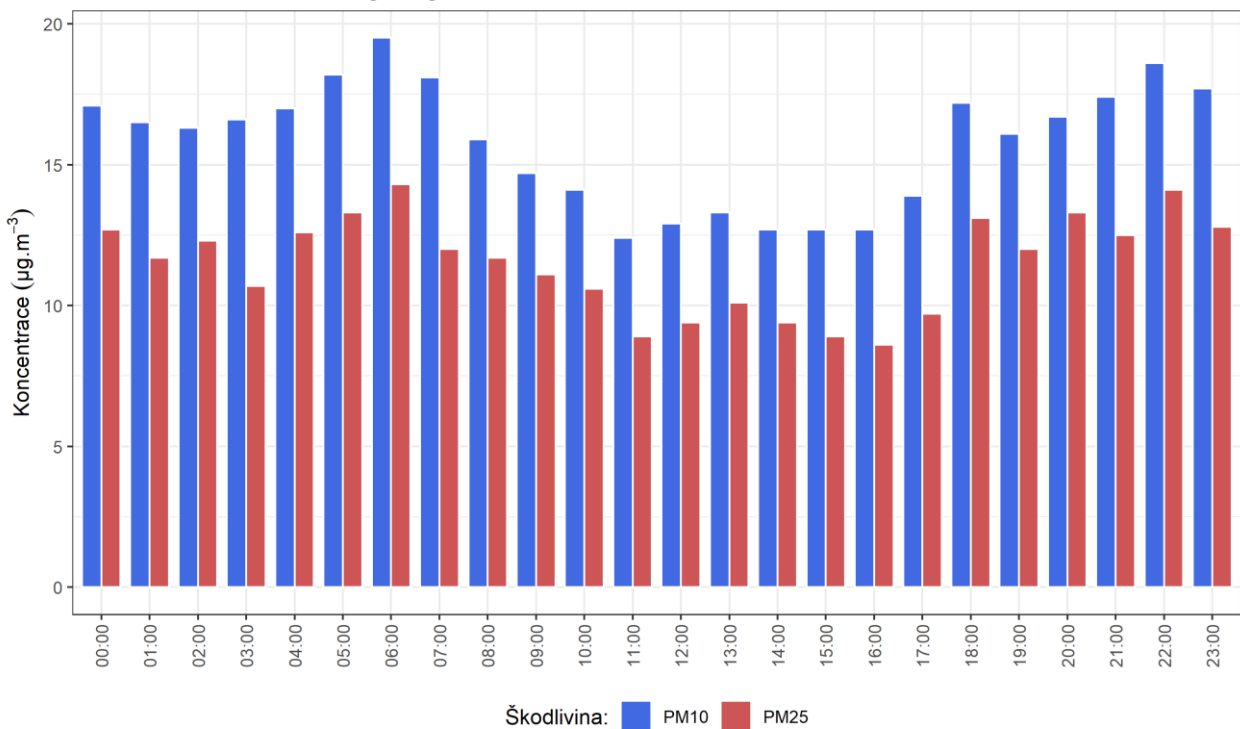


Obr. 34 – Srovnání průměrných denních koncentrací NO<sub>x</sub> v roce 2019, lokality kraje Vysočina

## 4.2 PRŮMĚRNÝ DENNÍ CHOD HODINOVÝCH KONCENTRACÍ JEDNOTLIVÝCH ŠKODLIVIN

Následující grafy zobrazují průměrný denní chod hodinových koncentrací v lokalitě Automotive Lighting v roce 2019. Čas je vždy uváděn v UTC. V případě suspendovaných částic PM<sub>10</sub> a PM<sub>2,5</sub> (Obr. 35) je patrný nárůst koncentrací v brzkých ranních hodinách. To může souviseť s ranní dopravní špičkou, provozem v průmyslové zóně, popř. s ranním zatápěním. Druhý nárůst je pozorovatelná kolem 17. – 18. hodiny, což opět může souviseť se zatápěním po návratu ze zaměstnání. Koncentrace pak stoupají až do pozdních nočních hodin, což spíše poukazuje na vytápění než na vliv dopravy. V průměru se nejvyšší hodinové koncentrace v dopoledních hodinách pohybují mírně pod 20 µg·m<sup>-3</sup>.

Průměrný denní chod hodinových koncentrací suspendovaných částic  
Lokalita Jihlava - Automotive Lightning



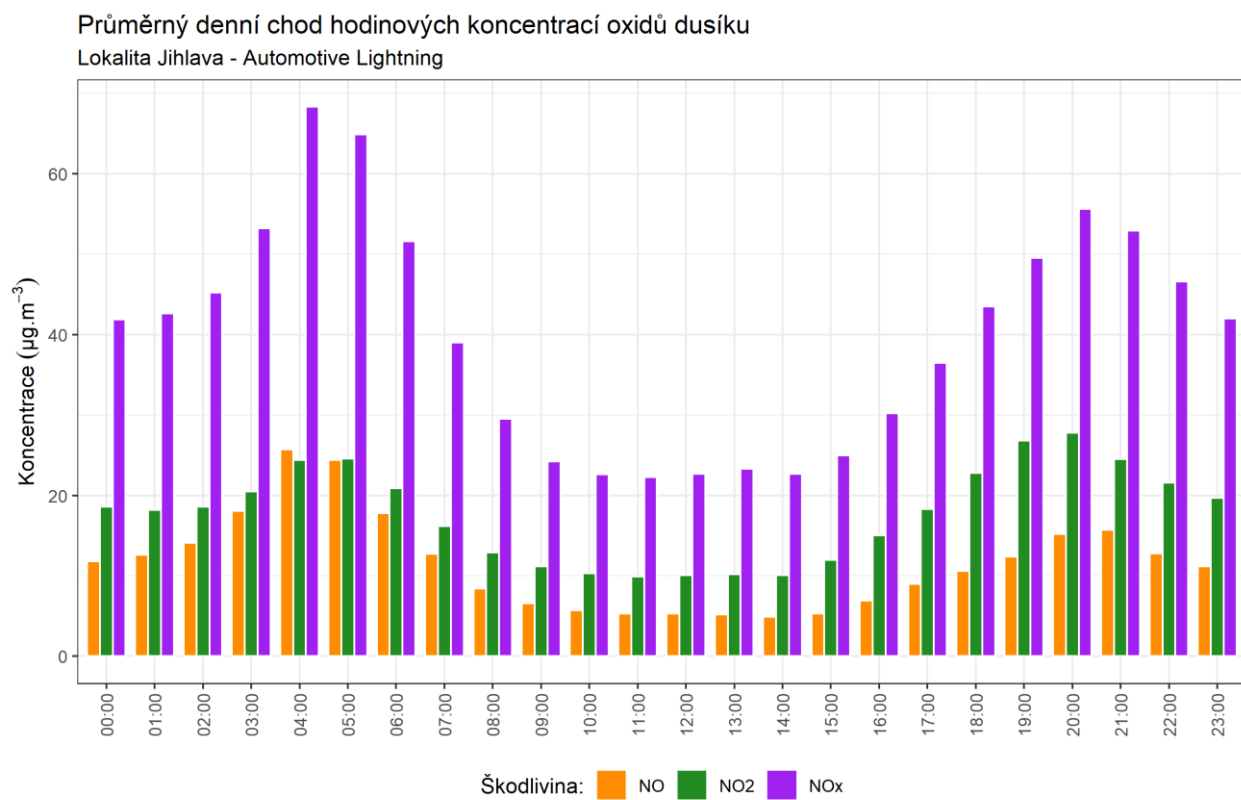
Obr. 35 – Průměrný denní chod hodinových koncentrací suspendovaných částic PM<sub>10</sub> a PM<sub>2,5</sub>, lokalita Automotive Lighting, rok 2019

V případě denního chodu koncentrací oxidů dusíku jsou patrné dvě výrazné špičky. První kulminuje okolo 5. – 6. hodiny ranní a zřejmě souvisí s dopravní špičkou a příjezdem do zaměstnání. Koncentrace NO jsou v tuto dobu téměř totožné s koncentracemi NO<sub>2</sub>, což naznačuje silné ovlivnění dopravou. Doprava primárně emituje NO, který je následně v atmosféře oxidován na NO<sub>2</sub>. Pokud je však měření v blízkosti dopravního zatížení, nestihne se NO oxidovat a poměr NO / NO<sub>2</sub> nabývá vyšších hodnot. V lokalitě Automotive Lighting je průměrná hodnota poměru NO / NO<sub>2</sub> = 0,65, což naznačuje jisté zatížení dopravou. Avšak v ranní špičce je tento poměr v podstatě 1 a dopravní zatížení je tedy silnější.

V dopoledních hodinách, kdy dochází k nárůstu koncentrací PM<sub>10</sub> a PM<sub>2,5</sub> naopak dochází k poměrně výraznému poklesu koncentrací oxidů dusíků. To by mohlo poukazovat na to, že vyšší koncentrace PM<sub>10</sub> a PM<sub>2,5</sub> v dopoledních hodinách nesouvisí přímo s dopravou, resp. s exhalacemi z výfuků, ale spíš s otěry, fugitivními emisemi či v topné sezóně s vytápěním.

K nárůstu koncentrací oxidů dusíku pak dochází opět v odpoledních a večerních hodinách. Tato špička již není tak výrazná jako ranní, navíc se značně liší složením oxidů dusíku. V odpoledních a večerních hodinách významněji narůstají koncentrace NO<sub>2</sub>, koncentrace NO se pohybují zhruba na čtvrtinových až třetinových hodnotách. To by naznačovalo, že do odpolední a večerní špičky významněji promlouvá vytápění, odpolední dopravní špička má menší vliv.

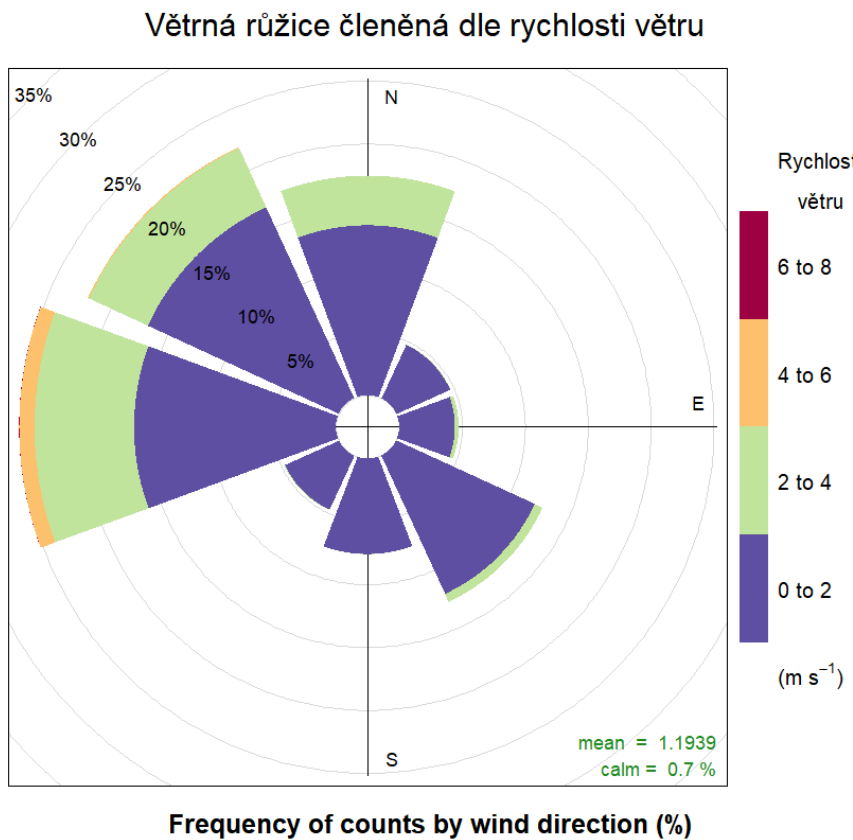
Svůj vliv samozřejmě sehrávají také meteorologické podmínky, které mohou poměr NO / NO<sub>2</sub> v ranních a odpoledních hodinách ovlivnit (vyšší teplota, sluneční svit -> lepší oxidace na NO<sub>2</sub>).



Obr. 36 – Průměrný denní chod hodinových koncentrací oxidů dusíku, lokalita Automotive Lighting, rok 2019

## 5 VĚTRNÉ A KONCENTRAČNÍ RŮŽICE

Na následujícím obrázku je zobrazena větrná růžice za rok 2019 v lokalitě Jihlava – Automotive Lighting, která je dále členěna dle rychlostí větru. Bezdveřtí panovalo v 0,7 % času. Převažovalo proudění ze západu (25 %), severozápadu a severu (22 %). Ze západu proudil vítr také nejrychleji – i nad  $4 \text{ m}\cdot\text{s}^{-1}$ .



Obr. 37 – Větrná růžice členěná dle rychlosti větru v lokalitě Jihlava – Automotive Lighting, rok 2019

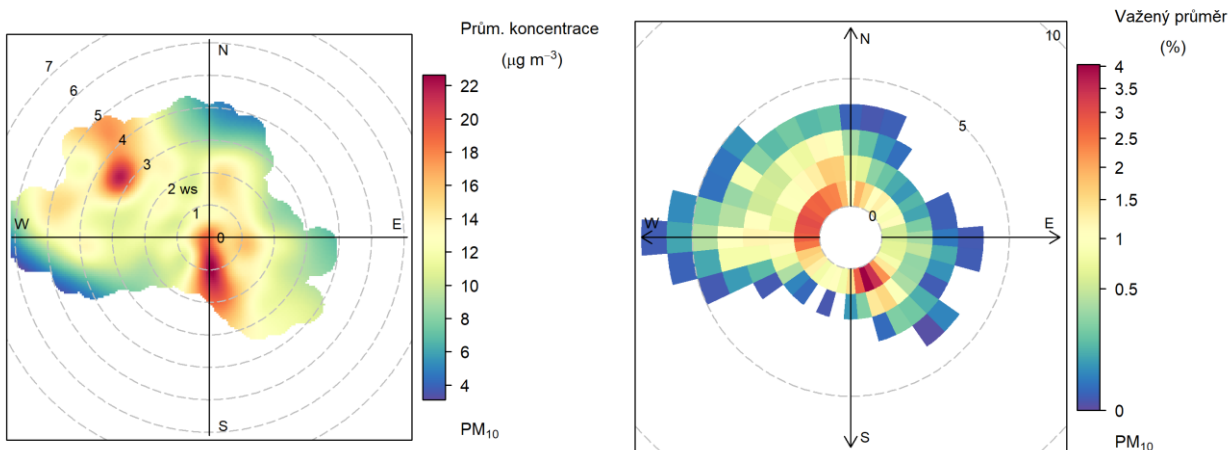
Koncentrační růžice jsou nástroj pro analýzu znečištění ovzduší na základě meteorologických charakteristik. Pro jejich konstrukci jsou použita hodinová data meteorologických prvků a koncentrací škodlivin – pro výpočet koncentračních růžic v lokalitě Jihlava – Automotive Lighting za rok 2019 tak bylo použito zhruba 8760 údajů. Koncentrační růžice vychází z větrné růžice, do polárních souřadnic se ukládá jednak směr větru jako u klasické větrné růžice, a dále pak rychlosť větru – ve středu růžice je bezdveřtí, s rostoucí vzdáleností od středu roste rychlosť větru. Pro jednotlivé rychlosti a směry větru je pak v koncentrační růžici zprůměrována koncentrace dané škodliviny, naměřená vždy při daných rychlostech a směrech větru. Koncentrační růžice tak ukazuje, při jakých rychlostech a směrech větru jsou v průměru dosahovány (nejvyšší) koncentrace.

Vážená koncentrační růžice pak vypočte vážený průměr (tzn., že je vzata v úvahu také četnost výskytu), a dává tak informaci, jakým procentem se jednotlivé směry větru podílí na měřených koncentracích dané škodliviny.

Koncentrační a vážené koncentrační růžice pro  $PM_{10}$ ,  $PM_{2,5}$  a  $NO_2$  jsou zobrazeny v následujících podkapitolách.

## 5.1 SUSPENDOVANÉ ČÁSTICE $PM_{10}$

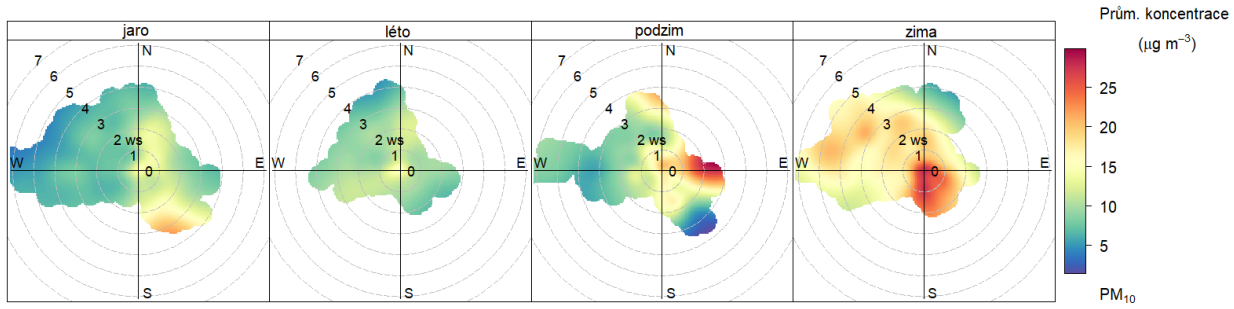
Z koncentrační růžice pro  $PM_{10}$  v lokalitě Automotive Lighting za rok 2019 vyplývá, že nejvyšší koncentrace byly v průměru měřeny při jižním proudění a dále při severozápadním proudění a rychlostech větru nad 3  $m \cdot s^{-1}$ . Z jižních směrů nefouká příliš často (viz větrná růžice na Obr. 37), avšak pokud tomu tak bylo, byly koncentrace zvýšené. Z vážené koncentrační růžice pak vyplývá, že nejvíce se na znečištění v lokalitě Automotive Lighting podílely jihovýchodní směry a nízké rychlosti větru, významný byl také severozápadní směr. Z těchto směrů foukalo nejčastěji, znečištění se tudíž nasčítalo, přestože koncentrace nemusel být tak vysoké. Procentuální podíl na celkové prašnosti z jednotlivých směrů ukazuje vážená koncentrační růžice (vpravo na Obr. 38).



Obr. 38 – Koncentrační růžice (vlevo) a vážená koncentrační růžice (vpravo) pro  $PM_{10}$  v lokalitě Jihlava – Automotive Lighting, rok 2019

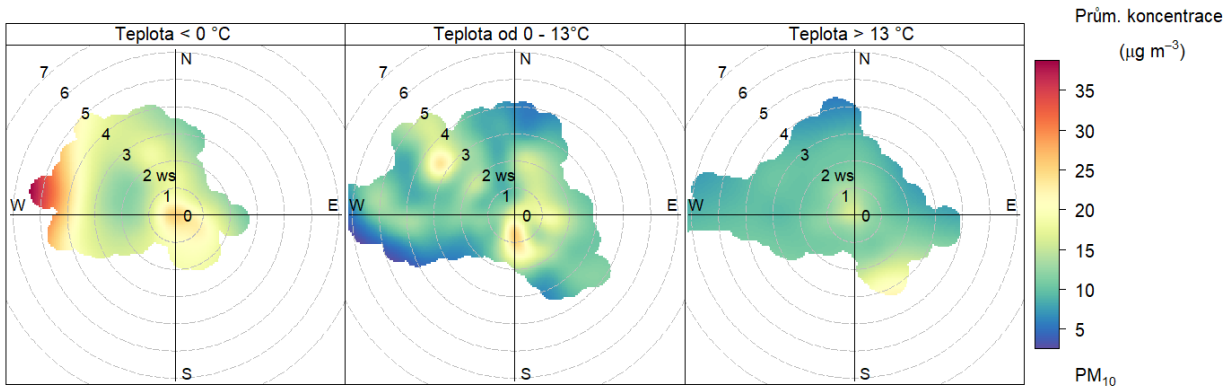
Koncentrační růžice lze dále dělit na základě různých parametrů, jako jsou roční období, teplota, denní doba atp. Tyto podrobnější analýzy pak mohou napomoci k identifikaci pravděpodobných zdrojů znečištění.

Následující koncentrační růžice na Obr. 39 je členěna dle ročních období. Z koncentračních růžic je patrné, že zvýšené koncentrace jsou měřeny převážně v zimě a také v podzimních měsících. V zimě převažují vysoké koncentrace při bezvětří, popř. při proudění z jihu. V podzimních měsících pak ze západu. V jarních a letních měsících byly koncentrace nízké. Měřítko pak poukazuje na to, že ani v zimních měsících nejsou koncentrace vysoké.



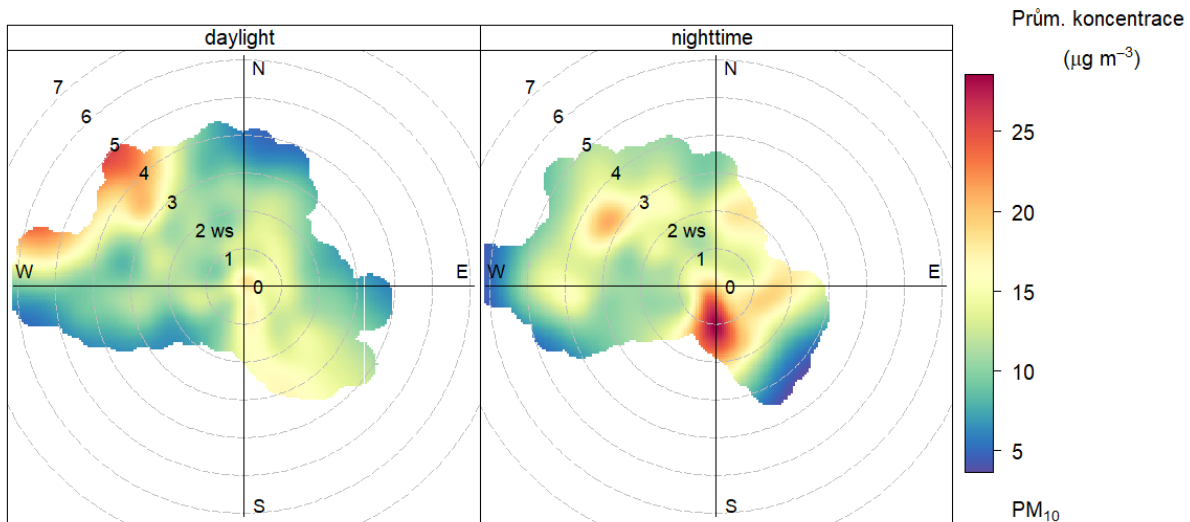
Obr. 39 – Koncentrační růžice pro PM<sub>10</sub>, členěná dle ročních období, Automotive Lighting, rok 2019

Vliv teploty konkrétně pak dokumentují následující 3 růžice na Obr. 40. Z té vyplývá, že vysoké koncentrace ze severozápadního až západního směru jsou měřeny zejména při teplotách pod 0 °C. Při teplotách pod 0 °C jsou měřeny vysoké koncentrace taky při bezvětří (zpravidla inverze). Naopak při teplotách vyšších než 13 °C měřeny jen nízké koncentrace.



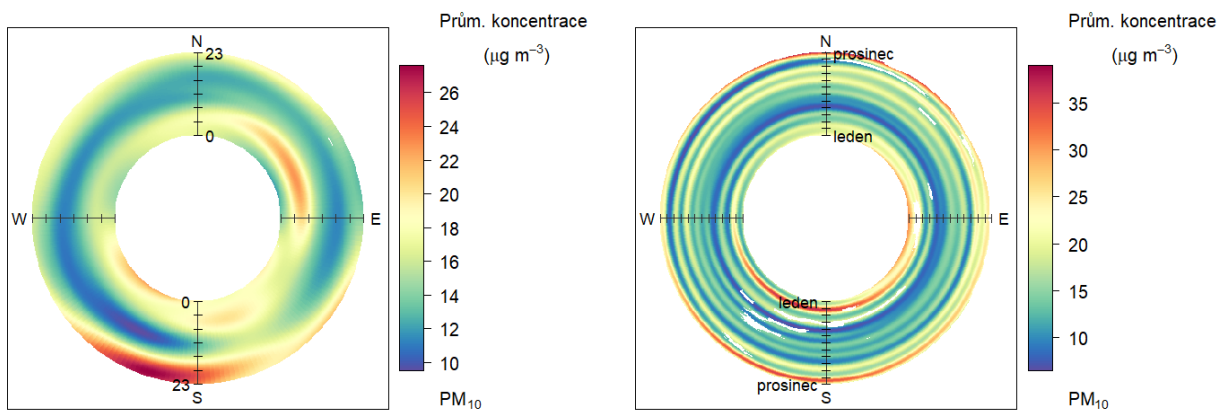
Obr. 40 – Teplotně členěná koncentrační růžice PM<sub>10</sub>, lokalita Automotive Lightning, rok 2019

Další možností zobrazení koncentrací je rozdělit koncentrační růžici na denní a noční hodiny (Obr. 41). Z něj vyplývá, že přes den jsou zvýšené koncentrace ze severozápadních směrů při vyšších rychlostech větru. V noci jsou pak zvýšené koncentrace zejména při bezvětří či jižním proudění.



Obr. 41 – Koncentrační růžice  $\text{PM}_{10}$  rozdělená na denní a noční hodiny, Automotive Lighting, rok 2019

Dalším užitečným nástrojem pro analýzu dat o kvalitě ovzduší je zobrazení denního a ročního chodu. Ten je zobrazen spolu se směrem větru opět v polárních souřadnicích, takže podobně jako u koncentrační růžice bylo možné analyzovat rychlosť a směr větru spolu se znečištěním, z následujících obrázků bude možné vyčist znečištění v závislosti na směru větru a denní době. A obdobně jako bylo ve středu koncentrační růžice bezvětří a směrem od středu rostla rychlosť větru, tak je v případě denního chodu uvnitř půlnoc a směrem od středu rostou hodiny až k 23. hodině na okraji kruhu. V případě ročního chodu identicky narůstá čas od ledna uprostřed až k prosinci na kraji.

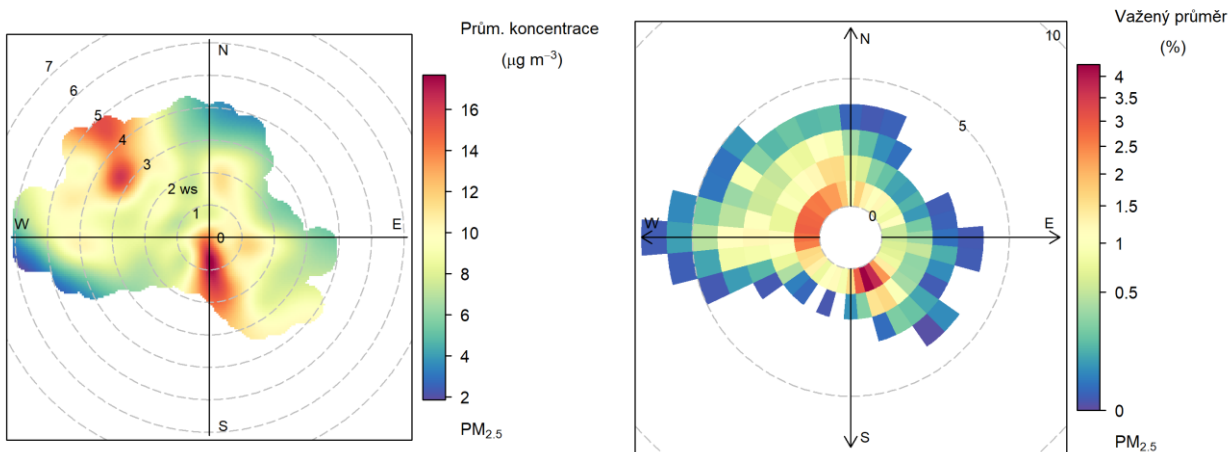


Obr. 42 – Denní chod (vlevo) a roční chod (vpravo) koncentrací  $\text{PM}_{10}$  dle směru větru, lokalita Automotive Lighting, rok 2019

Z chodů uvedených na Obr. 42 vyplývá, že zvýšené koncentrace z jižního směru se vyskytují zejména ve večerních až nočních hodinách. Z hlediska ročního chodu se jedná zejména o chladné období roku, maxima byla naměřena v lednu a prosinci. To napovídá, že významný vliv na koncentrace  $\text{PM}_{10}$  mají lokální topeníště.

## 5.2 SUSPENDOVANÉ ČÁSTICE PM<sub>2,5</sub>

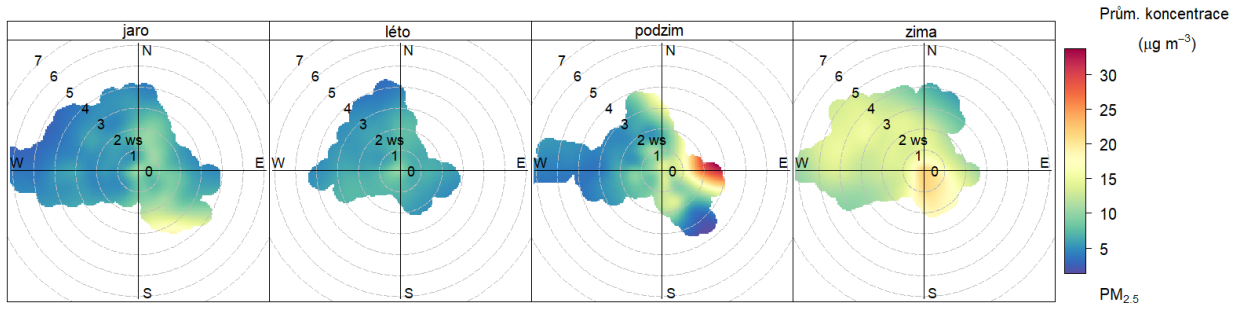
Z koncentrační růžice pro PM<sub>2,5</sub> v lokalitě Automotive Lighting za rok 2019 vyplývá, že nejvyšší koncentrace byly v průměru měřeny ze stejných směrů, jako v případě PM<sub>10</sub>, tedy převážně z jihu, popř. ze severozápadu při rychlostech větru nad 3 m·s<sup>-1</sup>. Z těchto směrů nefouká příliš často (viz větrná růžice na Obr. 37), avšak pokud tomu tak bylo, byly koncentrace zvýšené. Z vážené koncentrační růžice pak vyplývá, že nejvíce se na znečištění v lokalitě Automotive Lighting podílely jihovýchodní směry a nízké rychlosti větru, významný byl také severozápadní směr. Z těchto směrů foukalo nejčastěji, znečištění se tudíž nasčítalo, přestože koncentrace nemusel být tak vysoké. Procentuální podíl na celkové prašnosti z jednotlivých směrů ukazuje vážená koncentrační růžice (vpravo na Obr. 43).



Obr. 43 – Koncentrační růžice (vlevo) a vážená koncentrační růžice (vpravo) pro PM<sub>2,5</sub> v lokalitě Jihlava – Automotive Lighting, rok 2019

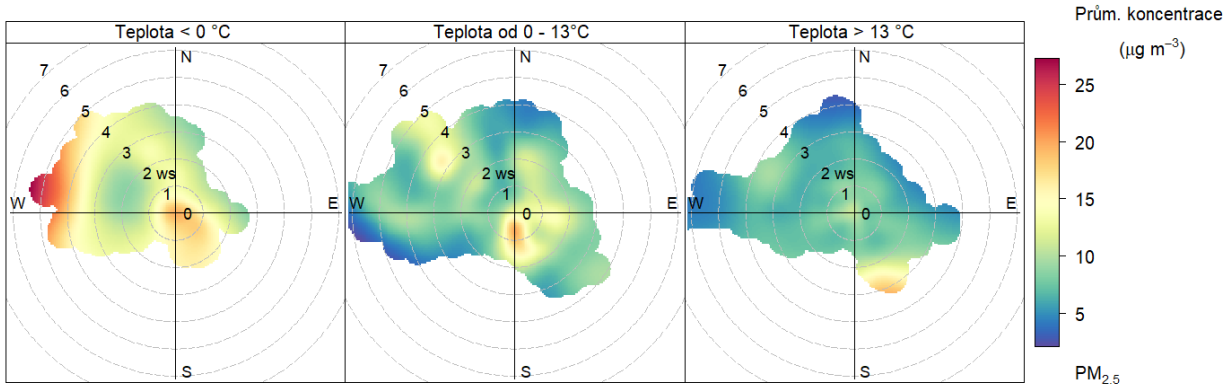
Koncentrační růžice lze dále dělit na základě různých parametrů, jako jsou roční období, teplota, denní doba atp. Tyto podrobnější analýzy pak mohou napomoci k identifikaci pravděpodobných zdrojů znečištění.

Následující koncentrační růžice na Obr. 44 je členěna dle ročních období. Z koncentračních růžic je patrné, že zvýšené koncentrace jsou měřeny převážně na podzim a v zimě. Na podzim převažovaly zvýšené koncentrace z východu, v zimě spíše z jihu. Naopak v jarních a letních měsících byly měřeny velmi nízké koncentrace.



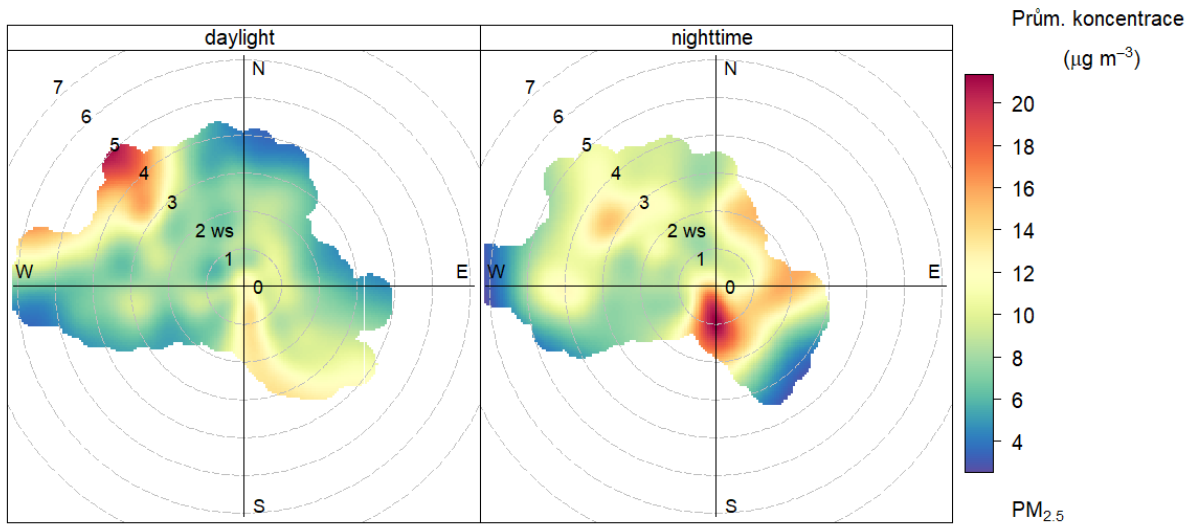
Obr. 44 – Koncentrační růžice pro  $PM_{2,5}$ , členěná dle ročních období, Automotive Lighting, rok 2019

Vliv teploty konkrétně pak dokumentují následující 3 růžice na Obr. 45. Z té vyplývá, že vysoké koncentrace ze severovýchodního až severního směru jsou měřeny zejména při teplotách pod 0 °C. Naopak při teplotách vyšších než 13 °C jsou koncentrace pouze nízké.



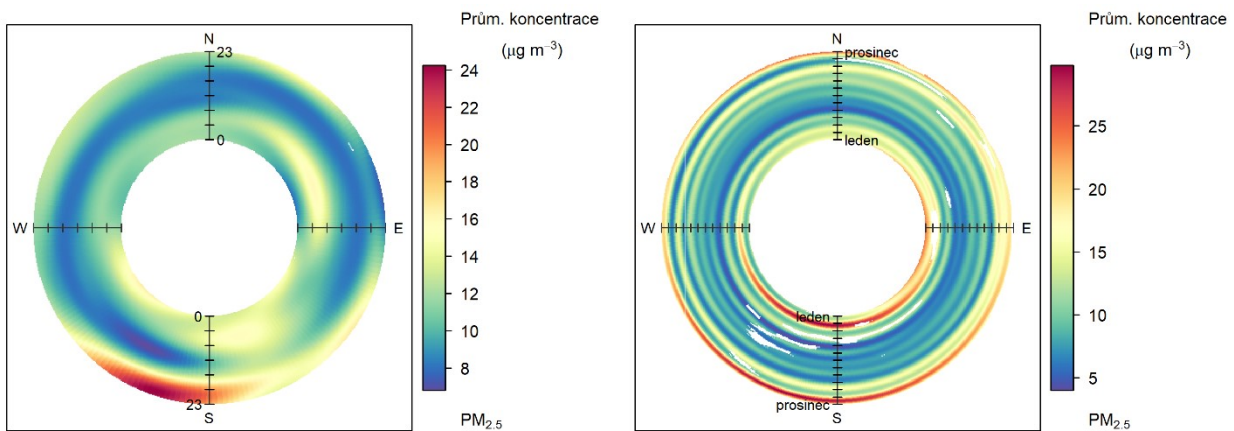
Obr. 45 – Teplotně členěná koncentrační růžice  $PM_{2,5}$ , lokalita Automotive Lightning, rok 2019

Další možností zobrazení koncentrací je rozdělit koncentrační růžici na denní a noční hodiny (Obr. 46). Z něj vyplývá, ony zvýšené koncentrace jsou přes den spíše ze severozápadních směrů a v noci spíše z jižních směrů, podobně jako v případě  $PM_{10}$ .



Obr. 46 – Koncentrační růžice  $\text{PM}_{2.5}$  rozdělená na denní a noční hodiny, Automotive Lighting, rok 2019

Dalším užitečným nástrojem pro analýzu dat o kvalitě ovzduší je zobrazení denního a ročního chodu. Ten je zobrazen spolu se směrem větru opět v polárních souřadnicích, takže podobně jako u koncentrační růžice bylo možné analyzovat rychlosť a směr větru spolu se znečištěním, z následujících obrázků bude možné vyčist znečištění v závislosti na směru větru a denní době. A obdobně jako bylo ve středu koncentrační růžice bezvětří a směrem od středu rostla rychlosť větru, tak je v případě denního chodu uvnitř půlnoc a směrem od středu rostou hodiny až k 23. hodině na okraji kruhu. V případě ročního chodu identicky narůstá čas od ledna uprostřed až k prosinci na kraji.

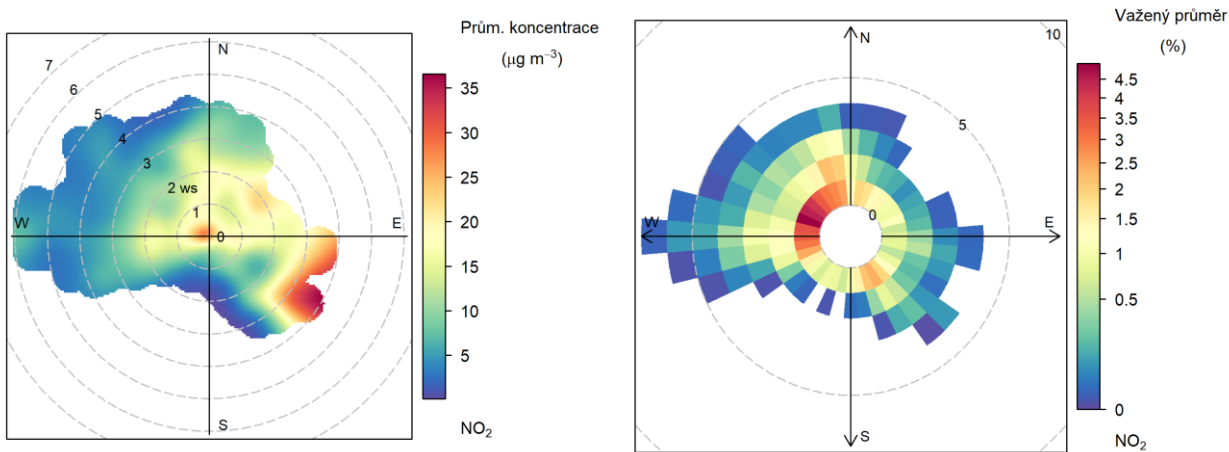


Obr. 47 – Denní chod (vlevo) a roční chod (vpravo) koncentrací  $\text{PM}_{2.5}$  dle směru větru, lokalita Automotive Lighting, rok 2019

Z chodů uvedených na Obr. 47 vyplývá, že zvýšené koncentrace ze jižního směru se vyskytují ve večerních a nočních hodinách. Z hlediska ročního chodu se jedná zejména o chladné období roku, maxima byla naměřena v prosinci a lednu.

### 5.3 OXID DUSIČITÝ NO<sub>2</sub>

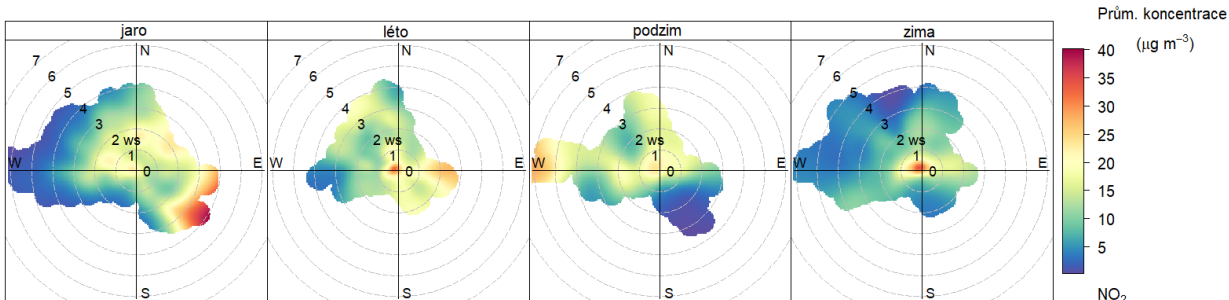
Z koncentrační růžice pro NO<sub>2</sub> v lokalitě Automotive Lighting za rok 2019 vyplývá, že nejvyšší koncentrace byly v průměru měřeny při bezvětří nebo vyšších rychlostech větru z jihovýchodních směrů. Z vážené koncentrační růžice pak vyplývá, že nejvíce se na znečištění v lokalitě Automotive Lighting podílely severozápadní směry a nízké rychlosti větru. Procentuální podíl na celkové znečištění NO<sub>2</sub> v lokalitě z jednotlivých směrů ukazuje vážená koncentrační růžice (vpravo na Obr. 48).



Obr. 48 – Koncentrační růžice (vlevo) a vážená koncentrační růžice (vpravo) pro NO<sub>2</sub> v lokalitě Jihlava – Automotive Lighting, rok 2019

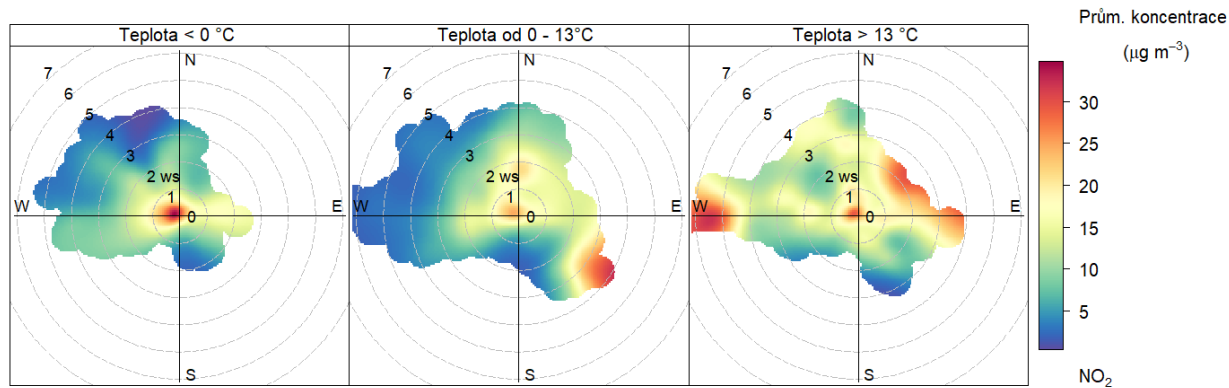
Koncentrační růžice lze dále dělit na základě různých parametrů, jako jsou roční období, teplota, denní doba atp. Tyto podrobnější analýzy pak mohou napomoci k identifikaci pravděpodobných zdrojů znečištění.

Následující koncentrační růžice na Obr. 49 je členěna dle ročních období. Z koncentračních růžic je patrné, že zvýšené koncentrace při vyšších rychlostech větru z jihovýchodu jsou měřeny převážně na jaře. Zejména v zimě jsou pak vyšší koncentrace pozorovány při bezvětří.



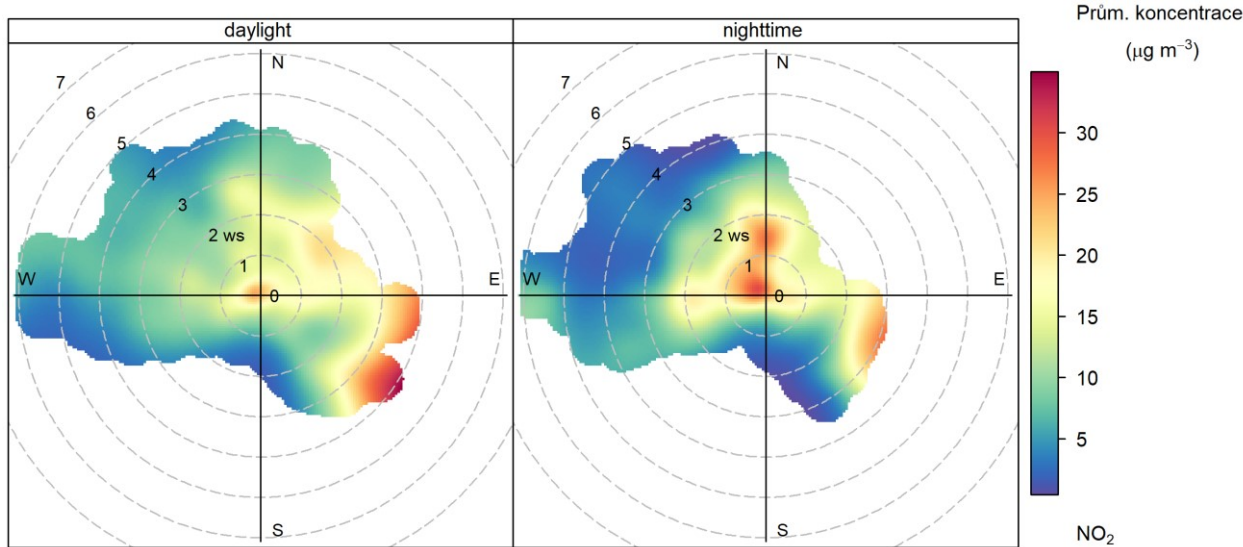
Obr. 49 – Koncentrační růžice pro NO<sub>2</sub>, členěná dle ročních období, Automotive Lighting, rok 2019

Vliv teploty konkrétně pak dokumentují následující 3 růžice na Obr. 50. Z té vyplývá, že teplota nehraje až tak zásadní roli, jako v případě prašnosti.



Obr. 50 – Teplotně členěná koncentrační růžice  $\text{NO}_2$ , lokalita Automotive Lightning, rok 2019

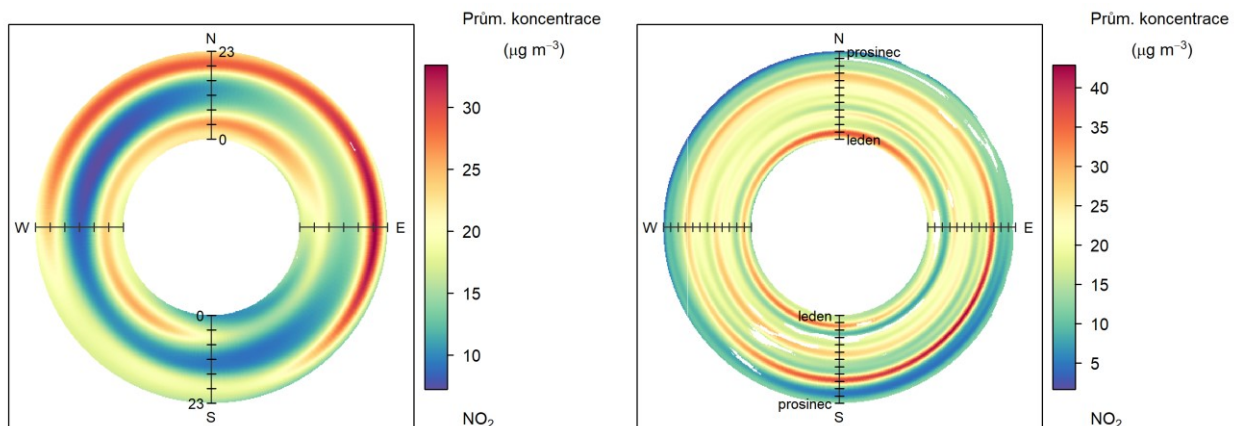
Další možností zobrazení koncentrací je rozdělit koncentrační růžici na denní a noční hodiny (Obr. 51). Z něj vyplývá, že mírně více jsou zastoupeny noční hodiny při bezvětří, což může souviset s klidnější atmosférou, ale v topné sezóně také s vytápěním coby zdrojem oxidu dusíku. V denních hodinách byly měřeny zvýšené koncentrace z jihovýchodu.



Obr. 51 – Koncentrační růžice  $\text{NO}_2$  rozdělená na denní a noční hodiny, Automotive Lighting, rok 2019

Dalším užitečným nástrojem pro analýzu dat o kvalitě ovzduší je zobrazení denního a ročního chodu. Ten je zobrazen spolu se směrem větru opět v polárních souřadnicích, takže podobně jako u koncentrační růžice bylo možné analyzovat rychlosť a směr větru spolu se znečištěním, z následujících obrázků bude možné vyčíst znečištění v závislosti na směru větru a denní době. A obdobně jako bylo ve středu

koncentrační růžice bezvětří a směrem od středu rostla rychlosť větru, tak je v případě denního chodu uvnitř půlnoc a směrem od středu rostou hodiny až k 23. hodině na okraji kruhu. V případě ročního chodu identicky narůstá čas od ledna uprostřed až k prosinci na kraji.



Obr. 52 – Denní chod (vlevo) a roční chod (vpravo) koncentrací  $\text{NO}_2$  dle směru větru, lokalita Automotive Lighting, rok 2019

Z chodů uvedených na Obr. 52 vyplývá, že zvýšené koncentrace se vyskytují ve večerních, nočních a brzkých ranních hodinách. Přes den jsou koncentrace  $\text{NO}_2$  nízké při proudění z jakéhokoliv směru.

## 6 ZÁVĚRY

- V lokalitě Automotive Lighting nebyl v roce 2019 překročen žádny imisní limit pro měřené škodliviny.
- Imisní limit pro průměrnou roční koncentraci **PM<sub>10</sub>** má hodnotu  $40 \mu\text{g}\cdot\text{m}^{-3}$ , naměřená hodnota se tak pohybuje na úrovni 40 % hodnoty imisního limitu. Imisní limit pro průměrnou roční koncentraci **PM<sub>2,5</sub>** má hodnotu  $25 \mu\text{g}\cdot\text{m}^{-3}$ , naměřená hodnota se tak pohybuje na úrovni 46 % hodnoty imisního limitu. Avšak od roku 2020 bude platit zpřísněný imisní limit pro tuto škodlivinu, který by vzhledem k naměřené hodnotě mohl být v této lokalitě překračován. Imisní limit pro průměrnou roční koncentraci **NO<sub>2</sub>** má hodnotu  $40 \mu\text{g}\cdot\text{m}^{-3}$ , naměřená hodnota se tak pohybuje na úrovni 44 % hodnoty imisního limitu.
- Hodnota imisního limitu pro průměrnou denní koncentraci PM<sub>10</sub> byla v této lokalitě překročena 13x. Legislativa umožňuje 35 překročení za kalendářní rok.
- Vyšší koncentrace suspendovaných částic PM<sub>10</sub> a PM<sub>2,5</sub> jsou měřeny především v topné sezóně. V tomto období dochází prakticky výhradně k překračování hodnoty imisního limitu pro průměrnou denní koncentraci PM<sub>10</sub>. To může být způsobeno vytápěním (zejména lokální topeníště, nejvýznamnější zdroj PM<sub>10</sub> a PM<sub>2,5</sub> v ČR) a také zhoršenými rozptylovými podmínkami.
- Vyšší koncentrace oxidů dusíku jsou měřeny při nízkých rychlostech větru až bezvětrí. Mírně vyšší hodnoty jsou měřeny v chladné části roku, rozdíl však není tak významný, jako v případě PM<sub>10</sub> a PM<sub>2,5</sub>.

## 7 CITOVARÁ LITERATURA

- [1] ČHMÚ, „Znečištění ovzduší na území České Republiky,“ 1996 - 2017. [Online]. Available: [http://portal.chmi.cz/files/portal/docs/uoco/isko/grafroc/grafroc\\_CZ.html](http://portal.chmi.cz/files/portal/docs/uoco/isko/grafroc/grafroc_CZ.html). [Přístup získán 2019].
- [2] Zákon č. 201/2012 Sb. o ochraně ovzduší, 2012.
- [3] Vyhláška č. 330/2012 Sb.o způsobu posuzování a vyhodnocení úrovně znečištění, rozsahu informování veřejnosti o úrovni znečištění a při smogových situacích, Praha, 2012.
- [4] MŽP, „Zákon č. 369/2016 Sb., kterým se mění zákon č. 201/2012 Sb., o ochraně ovzduší, ve znění pozdějších předpisů, a zákon č. 634/2004 Sb., o správních poplatcích, ve znění pozdějších předpisů,“ 2016. [Online]. Available: <https://www.sbirka.cz/POSL4TYD/NOVE/16-369.htm>.
- [5] ČHMÚ, „Znečištění ovzduší na území České republiky v roce 2018,“ 2019. [Online]. Available: [http://portal.chmi.cz/files/portal/docs/uoco/isko/grafroc/18groc/gr18cz/IV.1.PM\\_CHMU2018.pdf](http://portal.chmi.cz/files/portal/docs/uoco/isko/grafroc/18groc/gr18cz/IV.1.PM_CHMU2018.pdf). [Přístup získán 2019].
- [6] P. WARNECK, Chemistry of the natural atmosphere, San Diego: Academic Press: ISBN 0-12-735632-0, 2000.
- [7] European Commission, „Position paper on air quality: nitrogen dioxide,“ 1997.
- [8] M. VOJTFŠEK, „O provozu vznětových motorů a aerosolech jimi produkovaných v městských aglomeracích,“ Konference ČAS 2010. Sborník konference. , č. ISBN: 978-80-86186-25-2, 2010.
- [9] ČHMÚ, kolektiv autorů, „Grafická ročenka 2017,“ Český hydrometeorologický ústav, 2018. [Online]. Available: [http://portal.chmi.cz/files/portal/docs/uoco/isko/grafroc/17groc/gr17cz/Obsah\\_CZ.html](http://portal.chmi.cz/files/portal/docs/uoco/isko/grafroc/17groc/gr17cz/Obsah_CZ.html).